

UNIVERSIDAD DE LOS ANDES
FACULTAD DE CIENCIAS
DEPARTAMENTO DE FÍSICA
MÉRIDA, VENEZUELA



Un Sistema Integrado, centrado en el GRID para estudiar
La hidrodinámica del colapso gravitacional

Tesis que presenta

Reina Camacho

Para Obtener el Grado de

Licenciado en Física

Tutor de la Tesis: **Dr. Luis Nuñez.**

Cotutor:

Mérida, Venezuela

Marzo 2007

RESUMEN

ABSTRACT

Xóchitl Peña Navarro,

Ma. del Rosario Peña Navarro,

Ma. Teresa Navarro Serrano,

Elena Guerrero Badillo,

Alberto Peña Ramírez,

Instituto Politécnico Nacional. . .

Dios:

Gracias.

Agradecimientos

Reina C. Camacho Toro

... *Levántate, pues, y vence tu
flaqueza con el ánimo que tri-
unfa en los combates [...] ... y
al levantarse mira alrededor,
desvanecido por la grande an-
gustia por [la] que ha pasado...*

Dante Alighieri

(1265-1321)

Índice

Índice	i
1 Visualización Científica	2
1.1 Definiciones y motivaciones	2
1.2 Procesos de la Visualización Científica	3
1.3 Técnicas de la Visualización Científica	4
1.3.1 Uso del color para representar datos. Mapeo por color	4
1.3.2 Técnicas de visualización de campos escalares	7
1.3.3 Visualización de flujo de datos	10
1.3.4 Visualización de Volúmenes continuos	11
1.3.5 Animación	14
1.4 Retos en la Visualización Científica	14
1.5 Resumen	15
2 Computación Grid	16
2.1 Definición de la computación Grid y motivaciones	16
2.2 Computación Grid Vs. computación distribuida	19
2.3 Bases del funcionamiento de la Computación Grid	20
2.3.1 Compartir recursos	20
2.3.2 Seguridad de acceso	20
2.3.3 Uso eficiente de los recursos	21
2.3.4 Uso de las tecnologías de redes	21
2.3.5 Estándares abiertos	22
2.3.6 Jerarquía Administrativa	22
2.4 Arquitectura de la Computación Grid	22

2.4.1	Infraestructura	23
2.4.2	Conectividad	23
2.4.3	Recurso	24
2.4.4	Recursos	24
2.4.5	Aplicación	25
2.5	Servicios Web	26
2.6	Servicios Grid	27
2.6.1	OGSA	27
2.6.2	OGSI	28
2.6.3	Web Services Resource Framework (WSRF) [1]	28
2.7	Principales Herramientas de Computación Grid	29
2.7.1	Planificadores de tareas (Resource Brokers)	29
2.7.2	Middleware	31
2.8	Resumen	35
3	Portales y Portlets	36
3.1	Portal Grid	36
3.1.1	Conceptos claves	37
3.1.2	Estándares Portlets	41
3.1.3	Ciclo de vida de un portlet	43
3.1.4	Características de los portlets [2]	45
3.2	Herramientas para Portales Grid	47
3.2.1	GridSphere	47
3.2.2	GridPort	48
3.2.3	GSDK	50
3.3	Resumen	51
4	Portlet CHOQUE	52
4.1	Recursos computacionales	52
4.2	Arquitectura de portlet CHOQUE	53
4.3	Estructura de directorios del portlet CHOQUE	55
4.4	Métodos del portlet CHOQUE	58
4.5	Archivo jdl y envío de un trabajo en gLite	61
4.6	Visualización científica en el portlet CHOQUE	64
4.7	Un paseo por el portlet	64
5	Colapso gravitacional	68

5.1	Vision General	68
5.2	Ondas de choque radiante en la aproximación post-cuasiestática	70
5.2.1	Configuración del sistema y ecuaciones de campo	71
5.2.2	Aproximación post-cuasiestática (PQA)	73
5.2.3	Modelo de colapso gravitacional con onda de choque en la PQA	74
5.3	Resumen	76
6	Conclusiones	77
	Bibliografía	79
A	Título del Anexo Uno	92
A.1	Título de una sección de anexo	92
A.1.1	Título de una subsección de anexo	92
A.1.2	Título de una segunda subseccion de anexo	93
A.2	Título de una segunda sección de anexo	93
	Lista de Figuras	94
	Lista de Tablas	96

Introducción

La Computación Grid es un sistema de software y hardware que permite compartir recursos computacionales, datos, espacio de almacenamiento y solucionar problemas en una o varias organizaciones a través de la red de una manera transparente al usuario. Esta tecnología pretende usar la Internet como una plataforma de servicios de computación y no sólo como fuente de información, como es en la actualidad. Para esto se utiliza un software, llamado middleware, encargado de coordinar todo este sistema.

El Grid define un nuevo campo para la comunidad científica en particular para la comunidad de astrofísica relativista cuya tendencia es el uso intensivo y necesario del computador, a fin de tratar problemas que toman horas de cálculo en sistemas de computación distribuidos hasta ahora empleados.

Con todo, a menudo es complicado utilizar el Grid , por la necesidad de aprender varias utilidades de líneas de comandos y nuevos conceptos. Por ello es necesario desarrollar entornos que permiten a un usuario utilizar fácilmente el Grid , presentando una vista atractiva, uniforme e intuitiva de los recursos que lo componen. Hoy en día la interfaz hombre-máquina natural para aplicaciones tipo Grid son los portales y portlets. Los portlets para aplicaciones o códigos científicos surgen como respuesta a la necesidad de simplificar el uso de dichas aplicaciones o códigos empleando interfaces amigables además de aprovechar la seguridad y el beneficio de la tecnología de Grids.

En este escenario surge la idea del desarrollo del portlet CHOQUE el cual brinda acceso a un conjunto de subrutinas en fortran basadas en el modelo de Rueda y Núñez. Dicho modelo sigue un enfoque seminumérico comenzando con la solución interior estática con simetría esférica para la ecuación Tolman-Oppenheimer-Volkov a fin de determinar la influencia que ejerce el esquema de radiación y anisotropía local sobre la propagación de una superficie de discontinuidad en la aproximación cuasiestática. Este esquema se considera una extensión del método HJR.

El objetivo principal de este trabajo es desarrollar el portlet CHOQUE un ambiente integrado de cálculo y visualización, centrado en interfaces WEB y con tecnología Grid, portable, de fácil uso y bien documentado que permita simular de forma fácil y sistemática la propagación de discontinuidades hidrodinámicas en esferas radiantes.

Captulo 1

Visualización Científica

El pensamiento del ser humano esta lleno de evaluaciones cuantitativas, lo cual implica un sentido aproximado o exacto de cantidad, tamaño, escala. En el mundo científico, el razonamiento a diferentes ordenes de magnitud y la precisión de las medidas son cuestiones dominantes. ¿Cómo pueden ser representadas las cantidades en expresiones visuales? ¿Cómo puede ser una imagen cuantitativamente elocuente? son cuestiones a las cuales investigadores de diferentes áreas tales como dinámica de fluidos, modelado molecular, ingeniería computacional, geofísica, matemáticas, relatividad numérica tecnologías de la información entre otras se han abocado a responder, haciendo uso del creciente poder computacional y del desarrollo de diferentes sistemas gráficos.

1.1 Definiciones y motivaciones

Visualización se define como la generación de una imagen mental o una imagen real de algo abstracto o que no pueda observarse por métodos comunes, para hacerlo visible a la mente o a la imaginación. Una de las áreas de visualización que ha evolucionado como disciplina a partir de los campos de gráficos por computadora, procesamiento de imágenes, diseño de interfaces de usuario y sicología de la percepción es la Visualización Científica. La Visualización Científica envuelve las técnicas concernientes a la presentación de datos científicos a los usuarios por medio de imágenes empleando un proceso comprensible y reproducible. Una visualización

exitosa provee una representación que permite al usuario conocer y entender la estructura de los datos, o comunicar aspectos de su estructura en forma efectiva [3] [4] [5].

Las motivaciones para el desarrollo de la Visualización Científica son las siguientes: permite comprimir una gran cantidad de datos en una imagen, puede revelar cosas que no podemos captar al ver una tabla de datos como correlaciones entre diferentes cantidades en el espacio y/o en el tiempo o patrones de comportamiento, facilita la comprensión de procesos y conceptos abstractos, simplifica la comunicación entre científicos ya que es independiente del lenguaje y existen técnicas que permiten ver la representación de los datos en forma selectiva e interactiva en tiempo real.

El uso de técnicas de visualización para representar información no es un fenómeno nuevo, éstas han sido empleadas en mapas y gráficos de datos por cientos de años. Pero el aumento del poder de procesamiento y de almacenamiento de las computadoras que ha permitido simular fenómenos naturales con una precisión muy alta, generando diariamente bases de datos numéricas del orden de Terabytes (10^{12} bytes); el incremento de las cantidades de datos generados por telescopios, satélites, aceleradores de partículas, aparatos médicos entre otros; y el inicio de ciencias computacionales dieron origen a la visualización científica a finales de los años 80. Desde entonces han habido muchas conferencias y congresos patrocinados por la Sociedad de Computación del Instituto de Ingenieros Eléctricos y Electrónicos (IEEE) y por la SIGGRAPH (Association for Computing Machinery's Special Interest Group on Computer Graphics and Interactive Techniques) destinados al desarrollo de nuevas técnicas y nuevos sistemas de visualización. Entre los sistemas de visualización de propósito general actualmente empleados se encuentran IBM Visualization Data Explorer, IRIS Explorer, Stardent's AVS, Matlab, IBM OpenDX, Khoros (de la Universidad de Nuevo Mexico) and PV-WAVE (Precision Visuals' Workstation Analysis and Visualization Environment) y the Visualization Toolkit (VTK) [6].

1.2 Procesos de la Visualización Científica

Para generar imágenes entendibles y confiables a partir de datos abstractos es necesario establecer procesos estándares que satisfagan criterios establecidos para la representación. Robertson y

De Ferrari (1994) describen un modelo de sistema de visualización de seis componentes: manipulación de la data, especificaciones de la visualización, establecimiento del tipo de representación visual a ser utilizada, renderización, visualización final e interacción. El proceso de visualización incluye varias etapas, *preprocesamiento de la data*, *mapeo de la data* y *renderización*. La data es obtenida bien sea a través de mediciones o de la ejecución de modelos computacionales, su preprocesamiento por lo general incluye operaciones como la realización de interpolaciones y la reducción o filtrado de la data basados en las especificaciones de la visualización. El mapeo es la etapa más importante del proceso, envuelve el diseño de una representación adecuada de la data preprocesada, por lo general esta representación es un objeto geométrico bidimensional o tridimensional con atributos como color y opacidad. Finalmente estos resultados son renderizados, es decir, se genera la imagen para comunicar la información al usuario. Existen diferentes métodos para procesar la data, mapearla y renderizarla, algunos de ellos serán discutidos a continuación [7] [5] [8].

1.3 Técnicas de la Visualización Científica

La clasificación de las técnicas de visualización se basa en diferentes criterios: objetivo de la visualización (obtener una visión general de los datos, comparar los datos, hallar patrones de distribución, realizar análisis de correspondencia y/o correlación), del tipo (escalares, vectoriales o tensoriales) y/o de la dimensionalidad de la data (1D, 2D, 3D, multidimensional), del modo de visualización (pixel orientadas, proyecciones geométricas, basadas en iconos, orientadas a establecer jerarquías), del estilo de interacción, entre otros [9] [10] [11].

En la mayoría de las técnicas de visualización la manipulación del color es empleada para realzar y destacar la data. Esta técnica se denomina *mapeo por color*, debido a su amplio uso se considera necesario conocerla con más detalle.

1.3.1 Uso del color para representar datos. Mapeo por color

Una manera de emplear el color para representar cantidades es mediante el uso de un *mapa de color*. Un mapa de color es un arreglo de colores usado para mapear los valores de la data en colores, a fin de que sea posible conocer el rango de la data durante la visualización. Ya que el

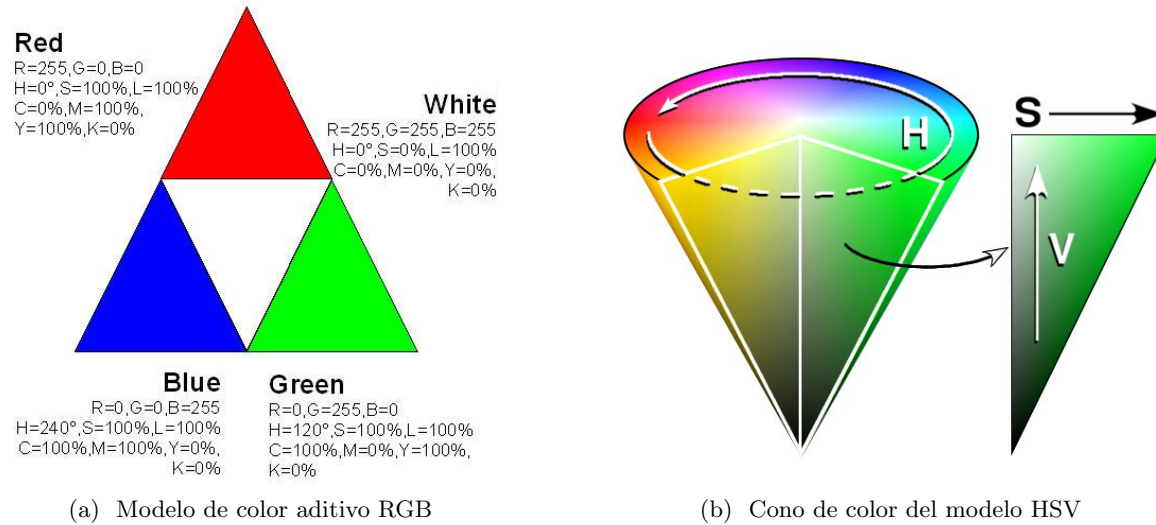


Figura 1.1: Códigos de colores empleados usualmente en el mapeo por color

mapeo de datos a colores envuelve los códigos de colores o sistemas de organización de colores, se considera necesario describirlos con algún detalle. En general en los códigos de colores cada color es localizado en un espacio tridimensional (formado por tres dimensiones perceptibles del color), los mas comunes son el sistema RGB y el HSV [12] [13].

La descripción **RGB** (del inglés Red, Green, Blue; Rojo, Verde, Azul) de un color hace referencia a la composición del color en términos de la intensidad de los colores primarios con que se forma: el rojo, el verde y el azul. La aplicación más común del sistema RGB es la visualización de colores en un tubo de rayos catódicos, una pantalla de cristal líquido o de plasma. Aunque el intervalo de valores podría ser cualquiera, es frecuente en representaciones por computador que cada color primario se codifique con un byte. Así, de una manera estándar, la intensidad de cada una de las componentes se mide según una escala que va del 0 al 255, lo cual implica que es posible obtener 16777216 colores diferentes.

El modelo **HSV**(del inglés Hue, Saturation, Value; Tonalidad, Saturación, Valor), también llamado HSB (Hue, Saturation, Brightness; Tonalidad, Saturación, Brillo), define un modelo de color en términos de sus componentes constituyentes en coordenadas cilíndricas:

- Tonalidad, es la dimensión perceptual del color asociada con los nombres de los colores:

amarillo, naranja, rojo, azul y verde. Se representa como un grado de ángulo cuyos valores posibles van de 0 a 360° (aunque para algunas aplicaciones se normalizan del 0 al 100%).

- Saturación, es la dimensión asociada con la viveza del color, lo que en arte se conoce como tonos. Se representa como la distancia al eje de brillo negro-blanco. Los valores posibles van del 0 al 100%.
- Valor del color, el brillo del color, es la dimensión que describe la cantidad de luz que parece ser reflejada por un objeto. Representa la altura en el eje blanco-negro. Los valores posibles van del 0 al 100%.

El modelo HSV se trata de una transformación no lineal del espacio de color RGB y en general es el modelo empleado por diversos sistemas como Munsell, CIELAB y PRAVDA para producir las producciones de color lógicas para la representación de datos.

La interpretación de resultados producidos por esta técnica depende de colocar el color adecuado en el lugar adecuado, lo cual es un asunto complejo ya que el ojo humano es más sensible a algunas partes del espectro visible de la luz que a otras y el cerebro es capaz de interpretar diferentes secuencias de colores en forma diferente, tal que el impacto perceptual del color es difícil de predecir. Interpretaciones erradas de la data debido a la elección equivocada de secuencias de colores y a la sensibilidad de los códigos de colores a efectos contextuales interactivos son comunes en muchas presentaciones visuales de datos, lo cual hace que la visualización sea menos convincente.

Por ejemplo, la Figura ?? muestra la Imagen de Resonancia Magnética (IRM) de una cabeza humana, la única diferencia entre ellas son los mapas de color empleados para representar la data, aun así las cuatro representaciones son diferentes. El *mapa de color arcoiris*, utilizado comúnmente en la mayoría de las visualizaciones científicas (superior izquierdo), crea contornos percibidos que no refleja en este caso transiciones discretas en la data. El *mapa de color isomórfico* (superior derecho) produce una representación confiable de la estructura de la data y su diseño depende de la frecuencia espacial de la data, en este caso muestra las características de frecuencias espaciales bajas (como el tumor cerca del centro de la imagen) a través de la variación de la tonalidad. El *mapa de color segmentado* (inferior izquierdo) delinea las regiones

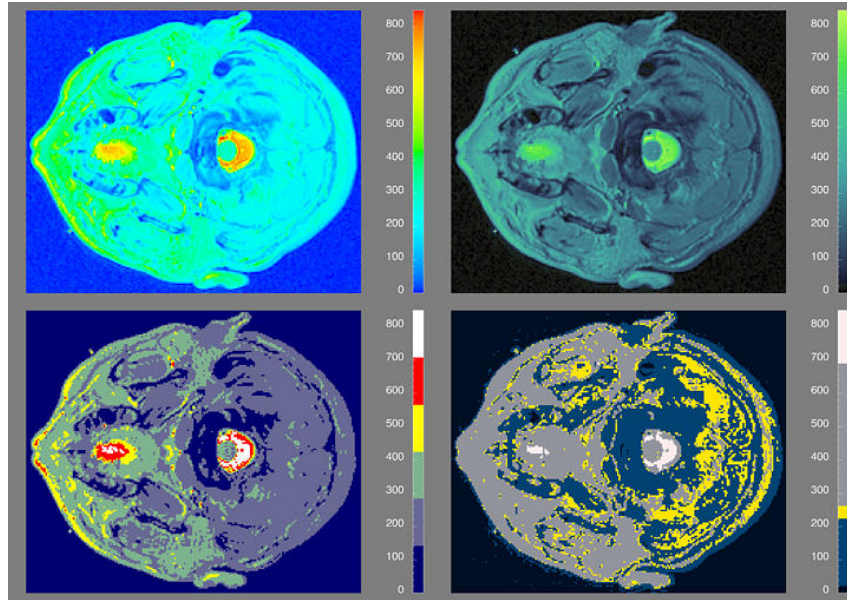


Figura 1.2: Datos de MRI visualizados empleando mapa de color de arcoiris, isomórfico, segmentado y de realce. Tomada de la página de NASA/GSFS *

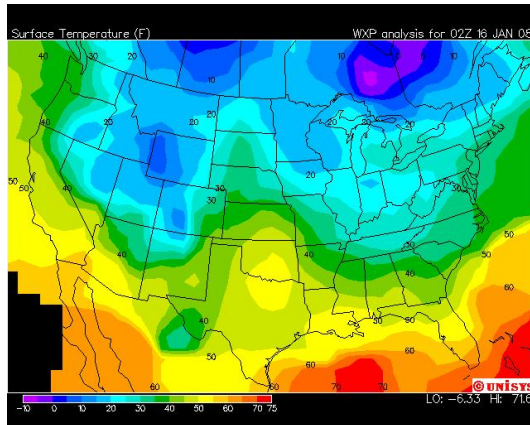
de la imagen mediante el uso de segmentos de color que pueden ser percibidos visualmente, en este caso demuestra características de frecuencias espaciales altas. El *mapa de color de realce* es diseñado para realzar rangos particulares de la data, en este caso el mapa de color destaca valores de datos cercanos a la mitad del rango.

En general una buena estrategia es emplear secuencias de colores encontradas en la naturaleza de intensidad suave ya que son familiares, coherentes y brindan armonía al ojo humano, mientras que colores de intensidades altas impresionan demasiado al ojo y causan pérdida de información al momento de realizar la interpretación de la data [14] [15] [16] [17].

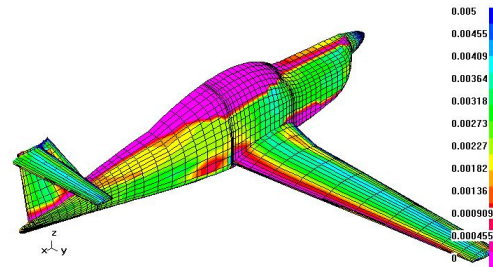
1.3.2 Técnicas de visualización de campos escalares

Una de las operaciones mas comunes es la visualización de una variable expresada en función de su posición en el espacio y el tiempo (cantidad escalar) en un campo tridimensional. Cantidades tales como esfuerzo, temperatura, presión, densidad, rapidez o errores estimados son generalmente representados como campos bidimensionales o tridimensionales de una sola variable. En

*NASA <http://www.nasa.gov/>



(a) Temperaturas superficiales en Estados Unidos,[†] (imagen tomada de UNISYS Weather)



(b) Coeficiente de fricción mapeado sobre el modelo empleando Postmarc

Figura 1.3: Imágenes generadas empleando gráficos de contorno

general las técnicas empleadas para visualizar variables escalares unidimensionales y bidimensionales son el *mapeo por color* y *gráficos de contorno* donde los resultados son representados mediante líneas de colores o regiones coloreadas sobre las superficies visibles exteriores de una estructura. Técnicas más recientes permiten mostrar la variación tridimensional completa de una variable escalar tridimensional en un campo volumétrico, estas técnicas incluyen *isosuperficies* y *volume slicing* también conocida como *planos cortantes*. La combinación de estos métodos permiten una evaluación completa del comportamiento tridimensional del campo escalar, ya que permiten ver información que no están en la superficie exterior visible del campo.

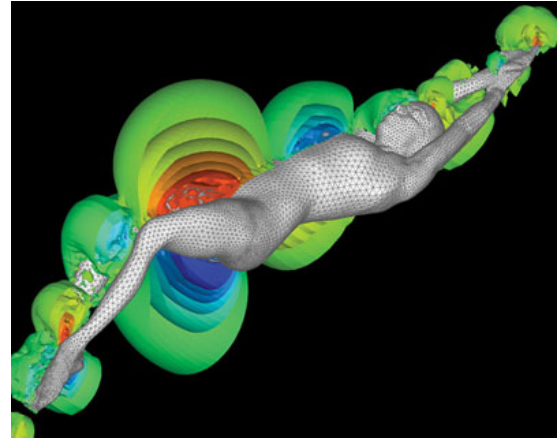
Isosuperficies

Una isosuperficie es la superficie 3D que representa la localización del valor de un resultado escalar constante en un volumen. Existen varios métodos para generar isosuperficies a partir de un conjunto discreto de datos, la mayoría se basa en la interpolación para construir una función continua que represente dichos datos. Uno de los desarrollos claves en visualización volumétrica de datos escalares fue el algoritmo *the Marching Cubes* de Bill Lorensen y Harvey Cline, el cual fue patentado por la Compañía General Electric en 1987. Uno de los ejemplos más famosos

[†]UNISYS <http://weather.unisys.com/>



(a) Modelo de una tormenta realizada por Wilhelmson et al. en 1990 en la Universidad de Illinois. Esta tormenta ocurrió el 3 de abril de 1964, cruzó Oklahoma y Texas por $2 \frac{1}{2}$ horas.



(b) Isosuperficies de presión, alrededor del cuerpo del nadador. El rojo indica presiones altas, mientras que el azul las bajas (Flow Simulations and Analysis Group at George Washington University (GWU)).

Figura 1.4: Imágenes generadas empleando isosuperficies

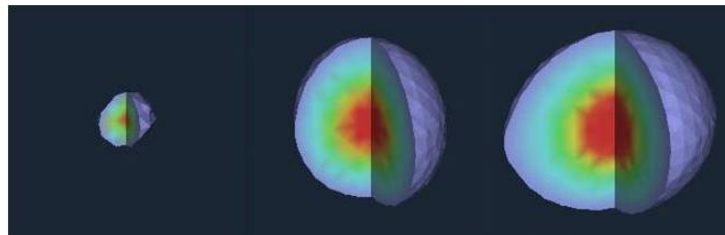


Figura 1.5: Probabilidad de distribución del par quark-antiquark dentro de un mesón en el tiempo empleando planos cortantes (R. Babich et al., Lattice QCD 2006, Universidad de Boston).

de isosuperficies fue hecho por Wilhelmson et al. en la Universidad de Illinois en 1990, el cual presenta una animación de una tormenta, aparte de isosuperficies empleo otras técnicas como streamlines, ribbons y sombreado [18] [19] [20].

Planos cortantes de volumen

Planos cortantes es una técnica que permite remover parte de un volumen empleando un plano cortante para observar los elementos individuales o interiores. La importancia de esta técnica reside en que permite visualizar información crítica que tal vez empleando los otros métodos no pueda ser observada, ya que los gráficos de contorno solo muestran las superficies exteriores

visibles y las isosuperficies pueden ocultar otras isosuperficies.

1.3.3 Visualización de flujo de datos

Visualización de flujo de datos (flow data) juega un rol importante tanto en ciencia como en ingeniería en áreas como dinámica de fluidos, simulaciones atmosféricas y aerodinámica, sus aplicaciones van desde estudio de turbulencias de plasmas hasta el diseño de jets. La data representada en un espacio n-dimensional incluye campos escalares n-dimensionales (univariados), campos vectoriales (n-variados) y campos tensoriales de segundo orden (n^2 -variados). En general datos multivariados son más difíciles de visualizar cuando el número de variables incrementa.

Iconos

En visualización científica los iconos son definidos como objetos geométricos que codifican la data bien sea a través de características geométricas como longitudes y ángulos o de atributos visibles como color u opacidad. Un icono está basado en la semejanza entre la data y su representación.

a) Iconos puntuales.

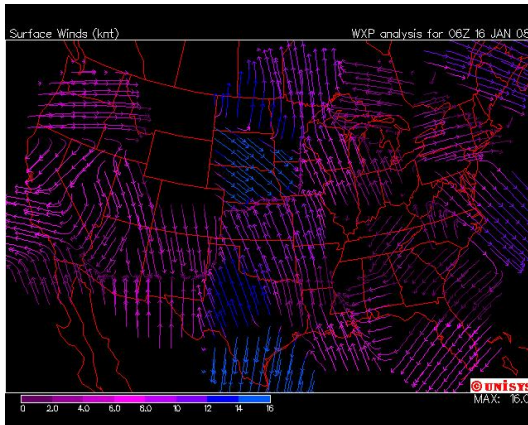
El mapeo de vectores más sencillo consiste en dibujar iconos puntuales tal como flechas en puntos seleccionados en el flujo o corriente. Por otra parte el mapeo de tensores más sencillo consiste en emplear elipsoides en vez de flechas. Sin embargo, no es posible comprender la estructura subyacente de un campo vectorial o tensorial mediante la interpolación mental de iconos adyacentes, excepto para objetos simples [21] [22].

b) Trazas, curvas de flujo y curvas de velocidad

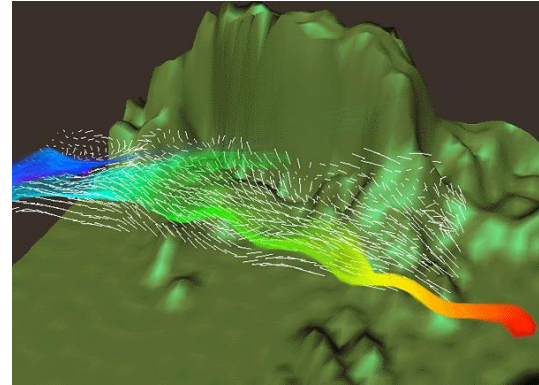
El uso de líneas como iconos es más eficiente en el sentido que proveen una representación continua de la data, entonces evitan realizar interpolaciones mentales, mejorando la percepción del fluido y enfatizando la continuidad del campo vectorial. Las trazas representan el camino de una partícula. Las curvas de flujo o streaklines son las líneas que pasan a través de un punto por el cual todas las partículas han pasado. Las curvas de velocidad

[‡]<http://weather.unisys.com/>

[§]<http://www.nasa.gov/>



(a) Campo de velocidad del viento en Estados Unidos (imagen tomada de UNISYS Weather)[‡]



(b) Corriente dinámica simulada empleando datos de la velocidad del viento en Indonesia (imagen tomada de la página de la NASA)[§]

Figura 1.6: Imágenes de campos vectoriales generadas empleando iconos puntuales

o streamlines son curvas instantáneamente tangentes a la traza de la partícula. Es posible generalizar streamlines a hyperstreamlines, las cuales representan toda la información tensorial a lo largo de la trayectoria [23].

- c) **Superficies de velocidad (streamsurfaces) y stream ribbons** Las streamsurfaces son superficies definidas por un conjunto de streamlines adyacentes. Mientras que un stream ribbon es una superficie entre dos streamlines adyacentes, lo cual puede apreciarse en las Figuras ?? y 1.9.

1.3.4 Visualización de Volúmenes continuos

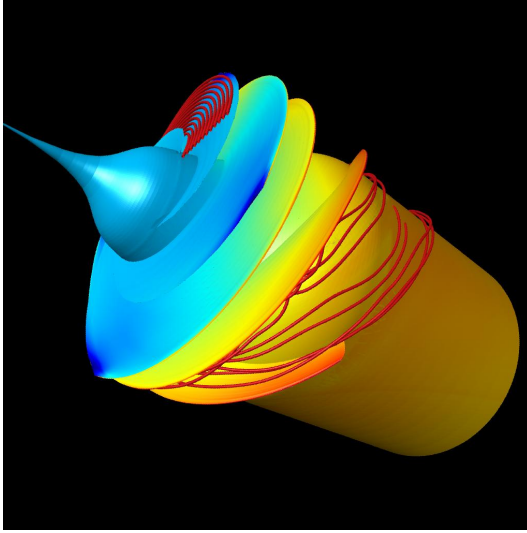
La visualización volumétrica de data tridimensional se ha convertido en una necesidad en diferentes áreas de la ciencia, ingeniería y medicina. Por ejemplo la construcción de un modelo tridimensional a partir de la data bidimensional obtenida a partir de Imágenes por Resonancia Magnética (IRM) o Tomografías Computarizadas (TC) constituye data volumétrica, la cual necesita ser visualizada para diagnósticos médicos. TC es también empleada en las industrias

[¶]<http://www.research.ibm.com/dx/>

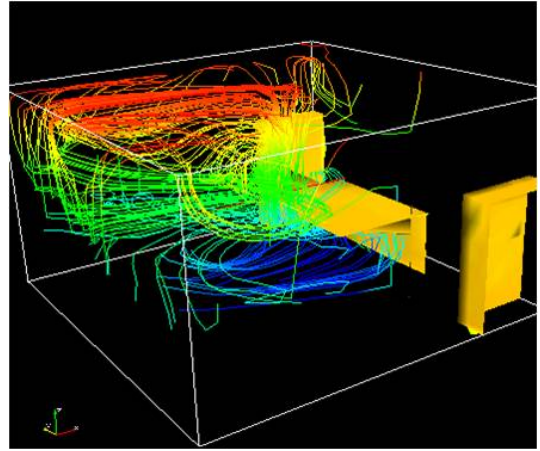
^{||}GWU <http://project.seas.gwu.edu/~fsagmae/>

^{**}<http://www.nasa.gov/centers/ames/home/index.html>

^{††}<http://www.ccs.lanl.gov/source/orgs/ccs/ccs1/acl/index.shtml>



(a) Las curvas de flujo o streaklines permiten visualizar el vórtice del cohete (imagen generada empleando IBM Open Visualization Data Explorer)



(b) Corrientes de aire que fluyen por una oficina. Los streamlines fueron coloreados de acuerdo a la presión de aire.

Figura 1.7: Curvas de velocidad del flujo de aire en una oficina, los muebles dentro de la oficina son isosuperficies. Las streamlines fueron coloreadas de acuerdo a la presión del aire.

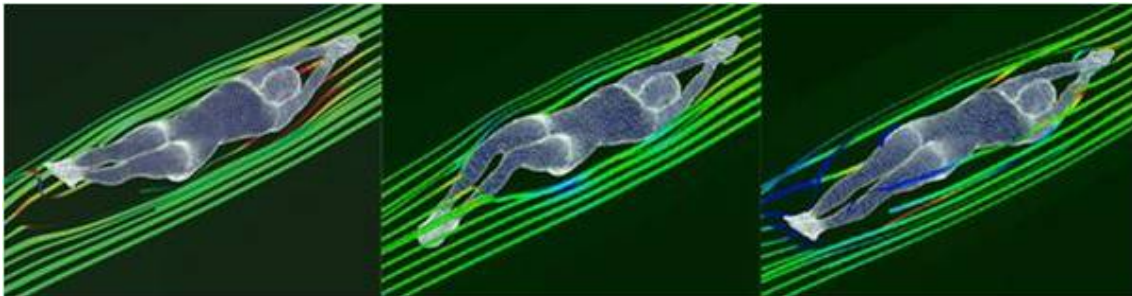
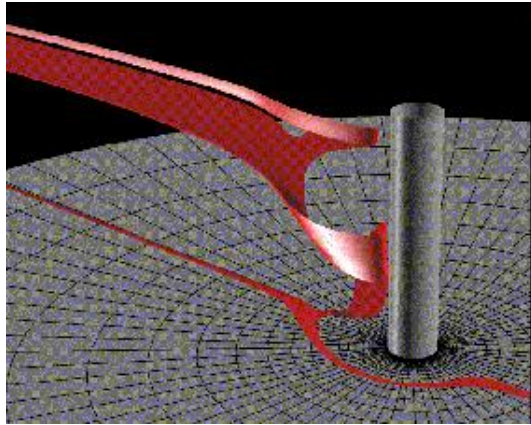
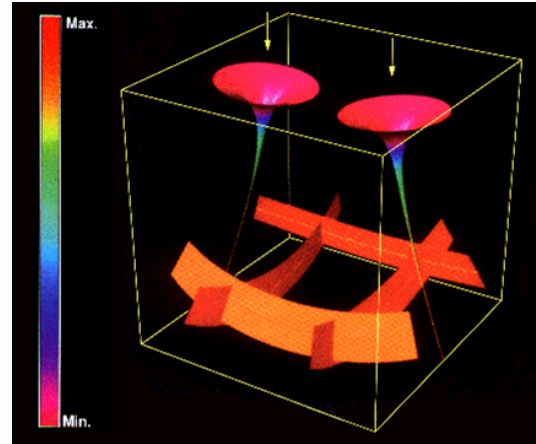


Figura 1.8: Stream ribbons que indican la dirección del agua en tres instantes de tiempo (Flow Simulations and Analysis Group at George Washington University (GWU)).



(a) Superficies de velocidades alrededor de un poste**
(NASA Ames Research Center)



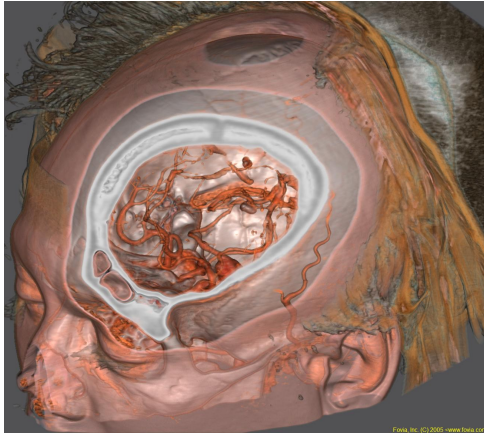
(b) Hyperstreamlines que representan el tensor de stress inducido por dos fuerzas Compresivas (Los^{††} Alamos Advanced Computer lab)

Figura 1.9: Hyperstreamlines y superficies de velocidades.

para realizar una inspección no destructiva de materiales compuestos o de partes mecánicas. Esto ha impulsado el desarrollo de muchas técnicas para la visualización de data tridimensional.

Estas técnicas de visualización se clasifican en *técnicas de renderización de superficies* y *técnicas de renderización de volúmenes*. La renderización de superficies son técnicas basadas en geometría indirecta empleada para visualizar estructuras de campos escalares o vectoriales tridimensionales, mediante la conversión de dichas estructuras en representaciones superficiales y luego empleando diversas tecnicas para renderizarlas, lo cual implica que una dimensión de información es desechada. Entre estas técnicas se encuentran isosuperficies, la utilización de iconos, planos cortantes, entre otras.

Las técnicas de renderización de volúmenes permiten la visualización de data tridimensional sin la conversión a representaciones bidimensionales, por lo tanto, son técnicas que transmiten mas información que las de renderización de superficies, pero esto implica algoritmos más complejos y por lo general mayor tiempo. En general los métodos de implementación de renderización de volúmenes difieren en la forma de realizar la proyección de los datos en el plano de visualización [24] [18].



(a) Renderización de volúmenes de la cabeza



(b) Renderización de superficie de un feto de tres meses

1.3.5 Animación

La animación provee la importante habilidad de visualizar el comportamiento de un sistema determinado en el espacio y el tiempo. La animación es la presentación de una secuencia de imágenes, llamados frames, a gran velocidad a fin de crear la ilusión de movimiento, es decir, a fin de que el ojo sea capaz de integrarlas en un movimiento continuo. Las animaciones tradicionales fueron inicialmente desarrolladas por artistas para crear la ilusión de vida y hoy en día se ha convertido en una forma de arte. El uso de animaciones como técnica de visualización científica es fundamental en la investigación y en los procesos de diseño ya que permite entender cada paso del fenómeno o sistema en estudio. Por ejemplo detectar conflictos en el movimiento de las partes de una pieza es más fácil en una animación que a través de visualizaciones estáticas. Las animaciones científicas requieren un diseño más sencillo que las animaciones tradicionales a fin de evitar distracciones de la data y preservar la fidelidad y precisión científica.

1.4 Retos en la Visualización Científica

- Lograr que la resolución temporal y espacial de la visualización sea indistinguible de la realidad física.
- Integrar la realidad virtual con la realidad física, es decir, eliminar los lentes, guantes y cascos a fin de que la visualización sea más natural.

- Integrar la visualización con redes de computación distribuida, voz y visión artificial.
- Encontrar maneras efectivas para visualizar la información no numérica, tal como sistemas telefónicas o secuencias genéticas.
- Encontrar formas de expresión visuales mas efectivos para mejorar la interacción entre la visualización y el usuario, lo cual implica integrar a las interfaces de visualización el conocimiento sobre percepción y entendimiento humano.
- Desarrollar representaciones para datos de dimensiones muy altas y para el análisis de errores [25].

1.5 Resumen

Diferentes técnicas de visualización científica han sido desarrolladas a fin de revelar la estructura completa de los campos escalares, vectoriales o tensoriales en estudio, solo es necesario recordar que la elección de la(s) técnica(s) apropiada(s) es crítica para comprender los datos, lo cual beneficiará la percepción de la data, el subsecuente análisis, procesamiento y la toma de decisiones. Tradicionalmente, la visualización de datos de estuvo restringida a unas estaciones de trabajo especializadas en el tratamiento gráfico, conectadas a superordenadores de cálculo que abastecen de resultados a la estación gráfica en tiempo real. Hoy en día con el desarrollo de la web y de sistemas de computación distribuidos es posible crear un medio para presentar las visualizaciones científicas con una mayor nivel de interacción y con mayor rapidez.

Captulo 2

Computación Grid

Del mismo modo que la disponibilidad de ordenadores potentes y baratos, junto con redes de alta velocidad, permitió la popularización de la computación distribuida, la disponibilidad y popularidad de Internet permiten unir recursos computacionales distantes geográficamente para utilizarlos como si fueran un recurso computacional único y unificado; esto último se conoce como Computación Grid. Igual que la red eléctrica permite obtener energía en cualquier lugar y de forma transparente al usuario, se pretende que los Grids computacionales permitan obtener "energía de computación" (ciclos de CPU, espacio en disco, ...) desde cualquier ubicación, utilizando para ello redes de comunicación públicas. Para esto, es necesario utilizar ciertas herramientas que cohesionen los recursos pertenecientes a uno de estos Grids, y proporcionen los mecanismos necesarios para que los usuarios puedan acceder al Grid, y para que los programadores puedan elaborar aplicaciones que sepan utilizar todos esos recursos. Estas herramientas, en muchas ocasiones, se complementan con interfaces de usuario fáciles de utilizar implementados en forma de "portales Grid".

2.1 Definición de la computación Grid y motivaciones

Es prácticamente imposible hoy en día hacer ciencia sin computadores. Con frecuencia una computadora, un cluster de computadores o inclusive una supercomputadora de propósito definido no es suficiente para realizar los cálculos que los científicos desean. Como resultado los científicos

enfrentan situaciones en las cuales el logro de ciertas metas es muy difícil, costoso o incluso imposible con la tecnología computacional disponible. Una de esas situaciones se presenta en el campo de la física de altas energías, específicamente en el 2008 cuando el acelerador de partículas de más alta energía del mundo el Large Hadron Collider (LHC) comience a funcionar generará alrededor de 10 Petabytes de datos por año (lo cual equivale a 20 millones de cd's), y cientos de físicos alrededor del mundo querrán tener acceso a ellos para analizarlos diariamente. La solución es conseguir una mayor potencia de cálculo, almacenamiento, aprovechamiento de recursos, etc. combinando los recursos computacionales en forma segura de varias organizaciones como una grande, única y poderosa computadora a través de la internet. Esto, en esencia, se conoce como *Computación Grid*, un nuevo paradigma de computación distribuida propuesto por Ian Foster y Carl Kesselman a mediados de los 90. El término Grid se acuñó por analogía con las redes de distribución eléctricas (power grids), gracias a las que se puede consumir energía eléctrica de forma confiable, transparente y en cualquier lugar y en cualquier momento, independientemente de su origen o de las necesidades de otros centros de consumo [28] [29].

Varios conceptos coexisten acerca de qué es un grid. Uno de ellos, elaborado por el Grid Computing Information Centre [30], una de las asociaciones dedicada exclusivamente al desarrollo de esta tecnología, llama grid a un "tipo de sistema paralelo y distribuido que permite compartir, seleccionar y reunir recursos 'autónomos' geográficamente distribuidos en forma dinámica y en tiempo de ejecución, dependiendo de su disponibilidad, capacidad, desempeño, costo y calidad de servicio requerida por sus usuarios". Según esta definición, se busca aprovechar la sinergia que surge de la cooperación entre recursos computacionales y proveerlos como servicios. La infraestructura Grid, conecta diversos recursos de hardware, software y datos a través de una red, asegurando un acceso seguro y flexible para aplicaciones, datos, poder de procesamiento y capacidad de almacenamiento, de la misma manera en que la Web permite acceso seguro y flexible a la información [31], esta idea es ilustrada en la figura 2.1

Otra definición más estructurada expuesta por Foster, Kesselman y Tuecke [32], precursores de la computación grid, plantea la existencia de *organizaciones virtuales* (OV) como puntos de partida de este enfoque. Una organización virtual es "un conjunto de individuos y/o instituciones definida por reglas que controlan el modo en que comparten sus recursos". Básicamente, son

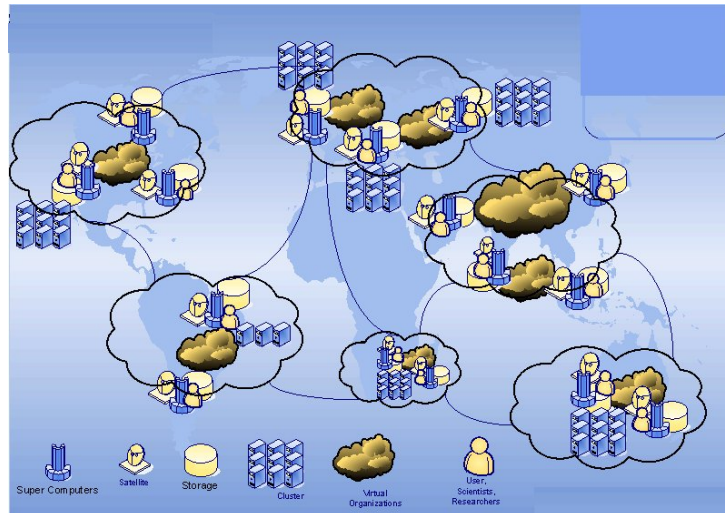


Figura 2.1: Los Grids Computacionales ofrecen a las organizaciones grandes beneficios como el aumentar su capacidad de cómputo y almacenamiento al compartir los recursos existentes y de esta manera ahorrar dinero evitando la adquisición de nuevos equipos, compartir datos almacenados y aumentar la velocidad de cálculo.

organizaciones unidas para lograr objetivos comunes. Las OV's varían enormemente en cuanto a sus objetivos, alcance, tamaño, duración, estructura, comunidad y sociología. Sin embargo, existen varios requerimientos y problemas subyacentes tales como la necesidad de relaciones flexibles para compartir recursos, niveles de control complejos y precisos, variedad de recursos compartidos (programas, archivos, datos, sensores y redes, entre otros), modos de funcionamiento (individual, multiusuario), calidad de servicio, etc. Las tecnologías actuales o bien no proveen espacio para la variedad de recursos involucrados o no aportan la flexibilidad y control de las relaciones cooperativas necesarias para establecer las OV's. Como solución, se propone el grid como un modelo de trabajo para "compartir recursos en forma coordinada y resolver problemas en organizaciones virtuales multi-institucionales de forma dinámica". De esta manera, varias instituciones pueden formar distintas OV's e incluso formar parte de más de una al mismo tiempo, realizando diferentes roles e integrando distintos recursos.

La Computación Grid va más allá de una simple comunicación entre computadoras, y su objetivo final es convertirse en la red global de computadoras dentro de un enorme recurso computacional. Esto es aún es un sueño, ya que la realidad es que el Grid es un trabajo en

progreso y la tecnología subyacente aún es un prototipo que está siendo desarrollado por cientos de investigadores e ingenieros de software alrededor del mundo. En la actualidad no existe un único Grid (como existe una única Internet o una única Web), por el contrario existen varios Grids en desarrollo, algunos públicos, otros privados, localizados en diferentes regiones o países, algunos dedicados a un problema en particular y otros de propósitos generales. Aún falta que los recursos estén disponibles en cualquier lugar, en cualquier momento, en forma confiable y segura, que la ubicación de los procesos y datos sea transparente al usuario, y que el Grid sea fácil de usar, pero se va en camino.

Sin embargo, la infraestructura del Grid en desarrollo puede beneficiar muchas aplicaciones incluyendo aquellas con grandes necesidades computacionales (simulaciones, predicciones, monitorización de procesos,...), con grandes necesidades de almacenamiento o procesamiento de datos (LHC, análisis distribuido de mamografías,...) y aplicaciones colaborativas (teleconferencias, reuniones virtuales,...). Es por ello que es considerada como el futuro de la computación que permitirá a las personas acceder a un enorme recurso computacional sólo con tener un navegador Web con conexión a Internet [33].

2.2 Computación Grid Vs. computación distribuida

Sistemas de computación distribuida ya existen pero tienden a ser sistemas con un único propósito o un único grupo de usuarios. La Computación Grid va más allá, ya que toma en cuenta: diferentes tipos de recursos, diferentes tipos de interacciones y su naturaleza es dinámica, ya que es posible agregar, remover y cambiar recursos y usuarios frecuentemente. Una definición de Computación Grid, por Ian Foster, permite distinguirla de otras formas de computación. De acuerdo a esta definición la Computación Grid debe satisfacer tres criterios:

- **La coordinación de los recursos no debe estar sujeta a un control centralizado**, el Grid coordina e integra recursos y usuarios que viven bajo diferentes dominios de control, si ellos estuvieran bajo un control centralizado estaríamos lidiando con un sistema de manejo local como es el caso de los clusters.
- **Uso de protocolos e interfaces de propósito general, abiertos y estándares**, para

facilitar la interoperabilidad entre los componentes del Grid; en caso contrario el Grid sería sólo un sistema de aplicación específica como es el caso de SETI@home.

- **Alta calidad de servicio**, lo cual hace al Grid diferente de la computación punto a punto. La calidad de servicio se relaciona con el tiempo de respuesta, el rendimiento, la disponibilidad y la seguridad de los recursos para cumplir con las demandas de los usuarios.

Además, el Grid en principio tendría acceso a computadores en paralelo, clusters, grids locales, entre otras y asignaría el trabajo del usuario al recurso más apropiado para resolverlo. En este sentido, la Computación Grid es la forma más general de computación distribuida que pueda imaginarse [34].

2.3 Bases del funcionamiento de la Computación Grid

Los aspectos más importantes para el funcionamiento de la Computación Grid [35] [36] son los siguientes:

2.3.1 Compartir recursos

Una de las características del grid es la de proporcionar un ambiente de contribución entre una comunidad más amplia de usuarios. La computación Grid debe establecer mecanismos que permitan obtener beneficios al usuario que coloque a disposición sus recursos, dicha persona debe establecer que recursos desea compartir, cuando y para que pueden ser utilizados. El Grid ofrecerá acceso remoto a recursos que en general no le pertenecen al usuario, los mismos deben ser virtualizados para proporcionar una interoperabilidad más uniforme entre participantes heterogéneos del grid. El grid puede ayudar en la asignación de normas de seguridad entre los recursos y en la implementación de normas que resuelvan las prioridades tanto para los recursos como para los usuarios.

2.3.2 Seguridad de acceso

Este es el aspecto más crítico dentro de la Computación Grid, ya que cuando se comparten recursos y se maneja información en forma remota debe existir un alto nivel de seguridad. Los

componentes de seguridad básica son:

- **Política de acceso:** se encarga de definir en forma transparente y cuidadosa que recurso puede ser compartido y bajo que condiciones.
- **Autenticación:** este mecanismo informa sobre la identidad del usuario o recurso dentro del Grid
- **Autorización:** se encarga de determinar que operaciones son consistentes con los reglas establecidas.
- **Confidencialidad e integridad**

El Grid debe ser extremadamente flexible en el sentido de que toda esta información puede cambiar diariamente.

2.3.3 Uso eficiente de los recursos

Se deben establecer mecanismos para distribuir los trabajos de los usuarios en forma eficiente y automática entre varios recursos, a fin de reducir el tiempo de espera. Desde el punto de vista del usuario, el manejo de recursos y la programación de las tareas debe ser transparente, el usuario debe poder conocer el estado de su trabajo desde el momento en que lo envía la grid. Esto no funciona completamente hoy en día, pero muchos proyectos de Grid están desarrollando el software necesario para realizar esta tarea.

2.3.4 Uso de las tecnologías de redes

El Grid es posible por la disponibilidad y confiabilidad en el ancho de banda y debido a que la velocidad de las redes se duplica cada nueve meses, lo cual permite el uso de recursos distribuidos globalmente en una manera integrada. Estas redes se consideran el sistema nervioso que envía mensajes a distintas partes del Grid. Los servicios de red usados proveen al Grid de parámetros QoS tales como latencia, ancho de banda, confiabilidad, tolerancia and jitter control.

2.3.5 Estándares abiertos

Finalmente tener un estándar abierto en la Computación Grid es indispensable, ya que sin el los recursos no podrán ser compartidos en una escala global. La estandarización asegura la interoperabilidad entre diferentes productos e implementaciones. Entre los cuerpos encargados de desarrollar estándares relevantes para distintos aspectos de la Computación Grid tenemos: el Foro Grid Global (GGF, por sus siglas en inglés), World Wide Web Consortium (W3C), Organización para el Desarrollo de Estándares de Información Estructurados (OASIS, por sus siglas en inglés) e Internet Engineering Task Force (IETF)

2.3.6 Jerarquía Administrativa

Los recursos del Grid están distribuidos geográficamente bajo diferentes dominios administrativos y pertenecientes a diferentes organizaciones, tal que cada ambiente Grid implementa jerarquias administrativas para determinar como se distribuirá la información a través del Grid. El grid ofrece el servicio de administración de las prioridades entre diferentes proyectos.

2.4 Arquitectura de la Computación Grid

En general, en un ambiente Grid las capacidades de la infraestructura incluyen:

- Almacenamiento remoto y/o duplicado de datos
- Seguridad: autorización y políticas de autenticación
- Acceso uniforme a recursos remotos (datos y recursos computacionales)
- Manejo de cuentas y pagos
- Composición de aplicaciones distribuidas usando diversos componentes de software
- Descubrimiento de datos a través de su nombres o atributos lógicos globales
- Descubrimiento de recursos computacionales
- Envío y monitoreo de la ejecución de trabajos

- Alta velocidad de transferencia de datos
- Transferencia de datos y/o código entre la máquina del usuario y los recursos computacionales donde correrá el trabajo
- Manejo de fallas
- Detección de intrusos
- Reforzamiento de los requerimientos de calidad de servicios (QoS)

Lo cual hace de la computación Grid un sistema escalable, disponible todo el tiempo, confiable, fácil de usar, extenso, transparente, heterogéneo, dinámico y económico, en el sentido de que aprovecha y utiliza los recursos actuales de la organización o institución [30]. Los diferentes componentes del Grid que proveen estas capacidades son ordenados en capas, que definen mecanismos básicos que permiten a los usuarios gestionar los recursos compartidos.

2.4.1 Infraestructura

La capa de *Infraestructura (Fabric)* consiste de todos los recursos distribuidos globalmente que son accesibles desde cualquier sitio a través de la Internet, se encuentran los recursos computacionales que serán compartidos por las organizaciones virtuales como bases de datos, sistemas de almacenamiento, computadoras con distintos sistemas operativos, instrumentos científicos tales como telescopios o sensores; junto con la infraestructura de red y sus mecanismos de gestión y control. Un recurso puede ser una entidad lógica (como un sistema de archivos distribuido, o un cluster de computadoras) en ese caso la implementación del recurso requiere el uso de protocolos internos (e.g., protocolo de acceso y manejo NFS).

2.4.2 Conectividad

Dentro de la capa de *Conectividad (Connectivity)* se encuentran protocolos estándar de seguridad y comunicación para transacciones de red. Los **protocolos de comunicación** permiten el intercambio de datos entre la capa más inferior y los recursos mientras que los **protocolos de autorización y/o de autenticación** brindan mecanismos de criptografía para identificar

usuarios y recursos. Dentro de los protocolos de capa de conectividad se sitúan algunos protocolos correspondientes al conjunto TCP/IP dado que la comunicación implica por ejemplo ruteo y transporte, se utilizan protocolos IP, ICMP, TCP - así como también el protocolo TLS (Transport Layer Security) que proporciona autenticación única, delegación e integración con soluciones de seguridad local; y certificados de identidad X.509 como protocolos estándar que brindan seguridad para acceder a los recursos definidos en la capa de Infraestructura.

2.4.3 Recurso

En el nivel correspondiente a la capa de *Recurso (Resource)* es donde se encuentran los protocolos que permiten obtener la información de un recurso en particular y gestionarlo controlando el acceso, arranque de procesos, gestión, monitorización y auditoría. Se distinguen dos clases principales de protocolos: los **protocolos de información** que brindan información sobre el estado y la estructura del recurso y los **protocolos que permiten el manejo de los recursos**, utilizados para negociar el acceso al recurso compartido remotos en forma uniforme. En esta capa existen protocolos para el manejo de recursos de almacenamiento (e.g. SRM/DRM/HRM del Laboratorio de Lawrence Berkeley), servicios para filtrar o transformar los datos (e.g., DataCutter de la Universidad de Ohio), protocolos o servicios de acceso a los datos (e.g., Globus GridFTP), servicios para el manejo de bases de datos (e.g., RDBMS local) y servicios para el manejo de recursos computacionales.

2.4.4 Recursos

Al contrario de la capa de recurso, destinada a gestionar un recurso específico, la siguiente capa denominada *Recursos (Collective services)*, contiene los protocolos y servicios que permiten gestionar la interacción de un conjunto de recursos. Algunos ejemplos son los servicios de directorios, que permiten a las organizaciones virtuales descubrir y ubicar recursos compartidos (e.g., Globus Replica Location Service y Globus Metadata Catalog Service); schedulers o brokers distribuidos que permiten asignar tareas a cada recurso (e.g., Condor); servicios de monitorización y diagnóstico de recursos ante fallas y servicios de replicación de datos. Esta capa se encarga además del descubrimiento de nuevos recursos y de aspectos de Calidad de Servicios (QoS) como

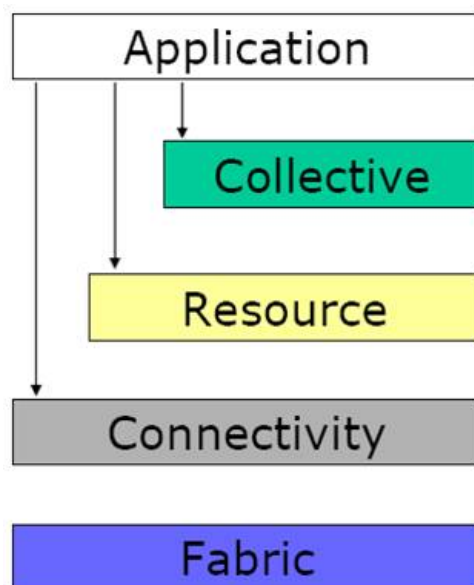


Figura 2.2: Arquitectura en capas del Grid [32].

reservación de recursos e intercambio de información entre recursos.

2.4.5 Aplicación

La última capa definida es denominada *Aplicación* (*Application*). En esta se encuentran definidos los protocolos que permiten acceso a la estructura Grid. Incluye aplicaciones científicas, de ingeniería, financieras, entre otras, así como portales y kits de desarrollo para soportar las aplicaciones, los portales ofrecen aplicaciones de servicios Web donde los usuarios pueden enviar y recoger los resultados de sus trabajos a través de la Web. Esta es la capa del Grid con la cual es usuario interactúa.

La unión de las capas de Conectividad, Recurso y Recursos se conoce como la capa de Middleware, esta capa puede compararse con el "cerebro" del Grid, ya que en general el Middleware es el software que organiza e integra los recursos en el Grid; su rol principal es automatizar todas las negociaciones máquina-máquina (M2M) requeridas para crear una Infraestructura unificada "única".

2.5 Servicios Web

Los servicios Web constituyen una tecnología de computación distribuida que permite la creación de aplicaciones cliente-servidor usando como plataforma de comunicación protocolos abiertos y altamente conocidos como HTTP o XML. De esta manera es posible ejecutar un servicio a través de la Internet, ocultándole al cliente detalles relativos a la implementación (servicios desarrollados en Java, C++, perl, etc) y plataforma (servidor Linux, Windows, Unix), lo único que le interesa al cliente es conocer la URL a través de la cual el servicio puede ser accesado. Los servicios Web son definidos por W3C (World Wide Web Consortium) [37] empleando el WSDL (Web Service Description Language Lenguaje de Descripción para Servicios Web) [38], que es un lenguaje basado en XML independiente de la plataforma. Básicamente un archivo WSDL de servicio Web define los métodos disponibles, parámetros, tipos de datos, protocolos de transporte, la sintaxis de transferencia de datos y URI (Uniform Resource Identifier Identificador Uniforme de Recurso) de un servicio.

Para ubicar y usar un servicio Web W3C creó la especificación UDDI (Universal Description, Discover and Integration Descripción, Descubrimiento e Integración Universal). UDDI especifica el formato XML en el cual los datos son almacenados y un API para buscar datos existentes usando SOAP. Un protocolo estándar para comunicación también fue definido llamado SOAP (Simple Object Access Protocol Protocolo Simple de Acceso a Objeto), el cual permite intercambiar mensajes basados en XML a través de la Internet usando HTTP como protocolo de transporte; implementaciones de SOAP están disponibles para Java, Perl, Python y otros lenguajes. SOAP forma la base para las tecnologías de servicios Web.

Los servicios Web es la tecnología ideal para aplicaciones distribuidas cuyos clientes y servidores están acoplados, tal como aplicaciones orientadas a Grid. Sin embargo, los servicios web carecen de algunas características básicas que pueden causar problemas en aplicaciones orientadas a grid: estado, transitoriedad, servicio de notificaciones, entre otros. Es por ello que nacen los llamados servicios Grid [39].

2.6 Servicios Grid

Un servicio Grid es definido como un servicio Web que proporciona un conjunto de interfaces responsables del descubrimiento, creación, monitorización y notificación de servicios dinámicos. Esta tecnología toma ventaja de los formatos de mensajes estándar y de los mecanismos de comunicación como HTTP y XML para lograr la comunicación entre componentes y arquitecturas heterogéneas. La cualidad dominante de los servicios grid es que sea stateful (Tienen estado, guardan en memoria información), mientras que un servicio web tradicional es stateless (no tienen estado y no guardan en memoria información durante invocaciones).

Ahora se está realizando un gran esfuerzo de estandarización, para definir comportamientos e interfaces estándares para todos los servicios que podemos encontrar en una grid: gestión de recursos, gestión de trabajos, seguridad, cobro por uso de recursos, etc. Entre los esfuerzos realizados por el GGF [40] por estandarizar la computación grid se encuentra la Open Grid Services Architecture (OGSA), esta arquitectura fue inicialmente introducida por Foster et al. [41] y la Open Grid Services Infrastructure (OGSI). Lo importante a tener en cuenta es que el único contacto entre los Servicios Grid y sus usuarios es la interfaz de servicios. Esas interfaces de servicios son definidas por el Lenguaje de Descripción de Servicios Web (WSDL) existente. Varias mejoras a WSDL han sido identificadas para requerimientos de OGSI y actualmente están siendo agregadas al estándar WSDL.

2.6.1 OGSA

[42] OGSA inició en el 2003 y define una arquitectura estándar y abierta común para las aplicaciones basadas en la grid. OGSA es una especificación que trata de estandarizar el acceso a los servicios presentes en una infraestructura grid. Define un conjunto de interfaces que deben cumplir los servicios grid más comunes como: servicios de manejo de trabajos, de manejo de recursos, de seguridad, de gerencia de OV, de información, de infraestructura y de manejo de datos; las aplicaciones Grid están basadas en estos servicios definidos por OGSA. Brevemente OGSA es una arquitectura de computación e interacción distribuida basada en tecnologías de servicios Web (como WSDL y SOAP), que asegura la interoperabilidad entre sistemas heterogéneos a fin

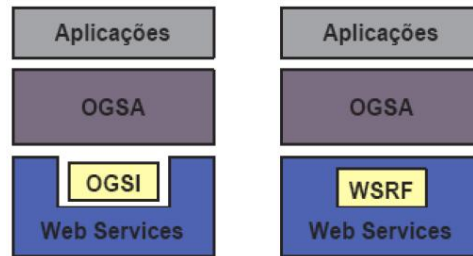


Figura 2.3: Estructura de la plataforma de servicios Grid en Globus Toolkit 3.0 a la izq. y en Globus Toolkit 4.0 a la der.

de que diferentes tipos de recursos puedan comunicarse y compartir información. OGSA a sido adoptado como una arquitectura Grid por un gran número de proyectos Grid como la Alianza Globus.

2.6.2 OGSi

[43] Creada en agosto del 2004, OGSi se refiere a la infraestructura base sobre la cual se construye la OGSA. En su núcleo se encuentran las especificaciones de Servicios Grid, que definen la interfaz estándar y conductas de un Servicio Grid, armando una base de Web service [44]. OGSi define detalles tales como estabilidad de Servicios Web, la herencia de interfaces de Servicios Web, notificación asíncrona, referencias a instancias de servicios, colección de instancias de servicios y datos de estados de servicios. Este estándar fue implementado por Globus Toolkit 3.0 (ver Figura 2.3)

2.6.3 Web Services Resource Framework (WSRF) [1]

Uno de los objetivos de OGSi era conseguir la convergencia con los web services (integrar las mejoras de OGSi con los web services), este objetivo no se logró [45]. Para resolver los problemas de OGSi e iniciar un proceso de convergencia entre grid y servicios web, OASIS (Organization for the Advancement of Structured Information Standards) desarrollo WSRF para substituir a OGSi. WSRF provee un conjunto de operaciones que pueden implementar los servicios Web para convertirse en stateful, los clientes de servicios Web se comunican con servicios de recursos que permiten almacenar y retornar datos [44]. WSRF es una extensión que permite incorporar a los

servicios web las funcionalidades que aportaba un servicio grid. Los mayores contribuyentes en este proyecto incluyen la Alianza Globus e IBM, en la actualidad es implementado por Globus Toolkit 4, WebSphere Application Server versión 6.1, UNICORE versión 6.0, entre otros. WSRF es la base para WSDM (Web Services Distributed Management) que es un servicio Web estándar para el manejo y monitoreo del estado de otros servicios.

2.7 Principales Herramientas de Computación Grid

2.7.1 Planificadores de tareas (Resource Brokers)

Un planificador es un sistema que es capaz de asignar recursos a las tareas que los usuarios desean ejecutar. Los planificadores más empleados funcionan en un cluster de ordenadores o en una red local; de muchos de ellos existen versiones Grid , capaces de planificar recursos situados incluso en distintos continentes.

Condor-G

Condor, originalmente, era un software de código abierto diseñado para utilizar ciclos de CPU de estaciones de trabajo ociosas, para aprovechar potencia de cálculo que, de otro modo, no se utilizaría; desarrollado por el Proyecto de Investigación Condor de la Universidad de Wisconsin-Madison (UW-Madison), a partir de 1988. Sin embargo, hoy en día es un planificador de tareas por lotes dotado con un mecanismo de colas de trabajos, políticas de planificación, esquemas de prioridades, monitorización y gestión de recursos. Condor cuenta con un mecanismo flexible para los trabajos y recursos, en el cual los trabajos pueden indicar requisitos para su ejecución y también los recursos pueden especificar requisitos sobre los trabajos que se van a ejecutar. Condor-G es la versión Grid de Condor, el cual se encarga solo de la gestión de trabajos (colocar los trabajos en cola, verificar el estatus del trabajo y manejar los archivos de entrada y salida) y emplea Globus Toolkit u otro middleware para empezar a correr el trabajo en recursos distantes y la gestión de recursos remotos en general [46].

Portable Batch System (PBS)

Es una herramienta de software que se creó con el objetivo fundamental de solucionar el manejo de carga de trabajo para sistemas de computación de alto rendimiento y para manejar clusters de computadoras Linux y Unix. PBS fue diseñado originalmente por la NASA, a mediados de los noventa, porque requería un software para el manejo de recursos.

PBS permite definir e implementar una política para la ejecución de los trabajos, como definir que tipos de recursos y cuánto de cada recurso puede ser usado por los trabajos. Además, proporciona un mecanismo que el usuario puede usar para asegurar que un trabajo tenga acceso a los recursos requeridos para ejecutarse. PBS está formado por varios componentes como el servidor y el cliente, que funcionan estableciendo una interacción entre ellos. El cliente realiza una solicitud a un servidor y el servidor se encarga de realizar el trabajo del cliente. El servidor de PBS proporciona servicios de crear, ejecutar, modificar o eliminar trabajos del cliente, dependiendo de su solicitud.

Sun Grid Engine (SGE)

Es un proyecto desarrollado por la comunidad de código abierto. El principal objetivo de este proyecto es desarrollar y proporcionar una herramienta de software de código abierto, que facilite la adopción de soluciones de computación distribuida y promueva el desarrollo de estándares abiertos para el manejo de recursos distribuidos. Es patrocinado por la compañía Sun Microsystems. Sun Grid Engine es una herramienta de software para el manejo de recursos distribuidos em ambientes de red heterogéneos que se encarga de agregar poder de cómputo y lo entrega como un servicio de red. Provee las funciones de un manejador de recursos distribuidos como mecanismos para despachar trabajos, balanceo de cargas, estadísticas de trabajos despachados, manejo dinámico de los recursos, protocolos de seguridad, administración de los recursos y monitoreo de los procesos [48].

2.7.2 Middleware

En un entorno de computación distribuida, el middleware se define como la capa de software que se encuentra entre el sistema operativo y las aplicaciones en cada host que participa en el sistema. En la actualidad, el grid middleware ha evolucionado hacia los llamados servicios grid (es decir, está compuesto por servicios grid), a su vez basados en la tecnología de servicios Web.

Globus Toolkit

Este software de arquitectura abierta es un conjunto de servicios y librerías de código abierto que soportan grids y sus aplicaciones y permite direccionar asuntos de seguridad, hallazgos de información, de gestión de recursos y datos, comunicación, fallas y transportabilidad. Globus [50] es el toolkit estándar de facto para la construcción de Grids. Es un proyecto desarrollado por la Alianza Globus constituida por Argonne National Laboratory, the University of Southern California's Information Sciences Institute, the University of Chicago, the University of Edinburgh, the Swedish Center for Parallel Computers, y el National Center for Supercomputing Applications (NCSA), además existen otras universidades, empresas e instituciones afiliados a la Alianza que también contribuyen en este proyecto.

Globus Toolkit incluye una serie de componentes que proporcionan servicios básicos, como seguridad, información y gestión de los recursos, monitoreo, descubrimiento, manejo de datos y comunicaciones. El Globus Toolkit está diseñado especialmente para ser usado por arquitecturas Grid, integración de sistemas y diseños de aplicación Grid, para reducir la cantidad de trabajo requerida para lograr los objetivos y asegurar un nivel básico de interoperabilidad entre sistemas y aplicaciones Grid. Globus se concibe como un conjunto de servicios, que se pueden utilizar de forma independiente, si fuera necesario:

- Globus Resource Allocation Manager (GRAM), Manejador de Asignación de Recursos Es el componente que proporciona servicios de gestión de recursos y de creación, monitorización y gestión de procesos. GRAM convierte las peticiones, expresadas en un lenguaje llamado RSL (Resource Specification Language), en órdenes para los planificadores y computadores locales.

- Grid Security Infrastructure (GSI), Infraestructura de Seguridad Grid Es un servicio de autenticación y cifrado, que permite a la vez la gestión local de los permisos de acceso de los usuarios y la autenticación única.
- Monitoring and Discovery Service (MDS), Sistema de Descubrimiento y Monitoreo Es un servicio de información del Grid , que proporciona los datos utilizando un directorio LDAP (Lightweight Directory Access Protocol). MDS proporciona un mecanismo uniforme para acceder a información sobre la configuración de los servidores, la red, los recursos disponibles y ocupados, etc.
- Grid File Transfer Protocol (GridFTP), Protocolo de Transferencia de Archivo Grid - Es un protocolo de transferencia de datos confiable, seguro y de alto rendimiento, desarrollado para ser utilizado en ambientes de computación con un gran ancho de banda en redes de área amplia. Brinda acceso parcial a archivos, notificación del estado actual de la transferencia, transferencia de terceros, soporte para transferencia de archivos grandes y paralelas y control del tamaño del buffer TCP (Protocolo de Control de Transmisiones).
- Global Access to Secondary Storage (GASS), Acceso Global a Almacenamiento Secundario Este componente implementa un conjunto de estrategias de movimiento de datos, que permiten que los programas que se ejecutan en lugares remotos puedan acceder a datos locales.
- Nexus y Globus-IO Proporcionan servicios de comunicaciones para entornos heterogéneos.
- Heartbeat Monitor (HBM) Es un componente que permite a los administradores del sistema y/o los usuarios detectar los fallos de componentes del sistema o procesos en ejecución.

Existe un API (Application Programming Interface) desarrollado en C o Java publicado para cada componente, lo que permite realizar aplicaciones que utilicen estos servicios. También se proporcionan herramientas de línea de comandos para uso por parte de los usuarios. Gracias a todo esto, una gran cantidad de personas y entidades han desarrollado servicios y aplicaciones

que utilizan Globus, como MPICH-G2 o Condor-G. Aunque Globus Toolkit es una herramienta de software de amplios servicios y funcionalidad para ambientes de computación Grid, de código abierto, portable, se integra con sistemas por lotes o sistemas de manejo de colas de trabajos existentes, por ejemplo Sun Grid Engine, PBS, LSF; se integra con servicios de bajo nivel como MPI, la seguridad esta presente en todos sus componentes y posee soporte para un gran número de tecnologías estándares; también tiene sus desventajas, ya que requiere realizar algunas configuraciones difíciles a sus componentes, se requiere un cierto grado de conocimientos en administración, instalación y configuración de sistemas de computación para poder manejarlo y no posee un contenedor Web propio lo que implica la utilización de una herramienta externa como contenedor Web por defecto, Tomcat como contenedor Web por defecto.

GT ha evolucionado bastante desde V2.x. GT2 incluye un conjunto de scripts para ejecutar tareas como GridFTP basada en la transferencia de archivos. GT3 es una puesta en práctica de OGSA. Aunque GT3 trae una nueva arquitectura e intenta utilizar las ventajas de los estándares industriales de los servicios web, no ha tenido mucho éxito debido a su complejidad. Sin embargo, algunos países han desarrollado proyectos basados en GT3. La Globus Alliance pronto respondió a las ediciones planteadas por GT3 y lanzó su última versión, GT4, la cual incluye componentes y herramientas de desarrollo de software para construir sistemas bajo el estándar OGSA y además cumplen con el WSRF [51].

Glite

Glite (Lightweight Middleware for Grid Computing) es un sistema complejo, compuesto por varios paquetes instalados en diferentes máquinas, interactuando entre ellos y cada uno de ellos juega un rol diferente dentro de las actividades del grid. Glite puede ser configurado de muchas maneras, debido a su modularidad y escalabilidad y depende finalmente de Local Bash System (también llamados Local Resource Management System (LRMS)) tales como PBS/TORQUE-MAUI, LSF y/o Condor. Grids de producción están basados en GT2 [52].

gLite nace como parte del proyecto EGEE (Enabling Grids for E-science). Glite facilita la interoperabilidad entre servicios Grid en conformidad con los nuevos estándares. La estructura de servicios de gLite ha sido influenciada enormemente por los requerimientos del proyecto LCG.

Los componentes de la estructura de gLite son los siguientes [53]:

- **User Interface (UI)**: Es el paquete en la máquina del usuario. Permite al usuario acceder a la Grid, desde este equipo el usuario se autentifica y envía los trabajos al grid, bien sea utilizando líneas de comando o a través de los portales. La autenticación se basa en la infraestructura X.509 PKI. A fin de reducir la vulnerabilidad la identificación del usuario es hecha usando proxies de los certificados que identifican al individuo (Certificate Authorities(CA)).
- **Computing Element (CE)**: Es el nodo que se encarga de manejar los nodos de cálculo, tiene instalado un planificador y un manejador de colas (PBS o Condor) el cual le permite aceptar y enviar esto trabajos a ejecutarse en los nodos de trabajo o worker nodes.
- **Worker Node (WN)**: Uno o más nodos encargados de ejecutar o realizar los cálculos de los trabajos enviados al Grid. Están conectados al CE a través del local batch system, al cual los trabajos son enviados.
- **Storage Element (SE)**: Provee acceso uniforme a grandes cantidades de almacenamiento y permite la transferencia de los mismos empleando GridFTP.
- **LCG File Catalog (LFC)**: Es un catálogo que permite almacenar la información acerca de la data almacenada en los diferentes SEs, permite también hacer replicas de los datos.
- **Workload Manager System (WMS)**: Es un conjunto de componentes responsables de cotejar, planificar, verificar y visualizar las salidas de los trabajos enviados a la grid. El **Sistema de Información y Monitorización (IS y MON)** se encargan de mantener información disponible al usuario sobre los recursos disponibles y el status del sistema.
- **Logging and bookkeeping service (LB)**: Sigue el rastro de los eventos que le suceden a los trabajos.
- **Berkeley Database Information Index (BDII)**: Es el encargado de recolectar la información que producen los recursos y responder a los consumidores, usuarios, acerca del estado del Grid.

- **Proxy Server (PX):** Para trabajos largos, se usa un Sistema de Renovación de Proxy que consiste de: Proxy Renewal Service (PRS) sobre el WMSLB y Proxy Server (PS) sobre una maquina dedicada.
- **VOMS:** Autenticación basada en una BD central, una por VO. Estas BD son accedidas por: WMS, LB, CE y SE para construir localmente una lista de usuarios autorizados. En el caso del Grid de la ULA este posee una organización virtual que provee servicio a los usuarios locales.

2.8 Resumen

El término Computación Grid define un nuevo campo para las ciencias computacionales que difiere de la computación distribuida tradicional al focalizarse en compartir grandes recursos computacionales heterogéneos, aplicaciones innovadoras y computación de alto rendimiento. Importantes aplicaciones del área científica y en particular de astrofísica (International Virtual Observatory Alliance *) y relatividad general numérica (CACTUS †) comienzan a migrar a este esquema, dando lugar a la e-ciencia. Es importante mencionar dos esfuerzos continentales para desarrollar ambientes y facilidades de cálculo científico distribuido: TeraGrid ‡ en los Estados Unidos y Enabling Grids for E-science (EGEE) de la Unión Europea § y más recientemente E-infrastructure shared between Latin America and Europe ¶. El impacto de las tecnologías Grids se ha percibido principalmente en diferentes áreas como el almacenamiento de datos, la visualización científica y la colaboración a distancia.

*<http://www.ivoa.net/>

†<http://www.cactuscode.org>

‡<http://www.teragrid.org/>

§<http://public.eu-egee.org/>

¶<http://public.eu-egee.org/>

Captulo 3

Portales y Portlets

Los códigos científicos son desarrollados por los usuarios para resolver determinado tipo de problemas. Algunos de ellos evolucionan y se convierten en aplicaciones utilizadas por extendidas comunidades académicas. Algunas de estas aplicaciones posteriormente dan origen a esfuerzos comerciales que garantizan su desarrollo y evolución, otras se convierten en proyectos de fuente abierta, colectivos y voluntarios. Por lo general su utilización es complicada y requieren un importante esfuerzo de aprendizaje. Desde hace unos años, la tendencia de las comunidades de investigadores es a minimizar ese esfuerzo a través de la implementación de "portales" los cuales permiten el acceso de los usuarios a dichas aplicaciones a través de interfaces Web.

3.1 Portal Grid

Para facilitar la adopción y utilización de Grids por parte de las distintas comunidades de usuarios, es necesario presentar el Grid de una forma visual, atractiva e intuitiva. Una solución común a esta necesidad consiste en la elaboración de portales web, a los que se puede acceder desde cualquier ordenador dotado de un navegador, para operar con el Grid de manera transparente. Este enfoque evita que los usuarios tengan que instalar y administrar aplicaciones en sus estaciones de trabajo, y permite que puedan acceder al Grid desde cualquier lugar. Un portal es una aplicación Web que provee los siguientes servicios: personalización, autenticación única y agregación de contenido desde diferentes fuentes además de albergar la capa de presentación de

los sistemas de información. Un portal puede tener características de personalización sofisticadas para proveer contenidos adaptados a diferentes tipos de usuarios.

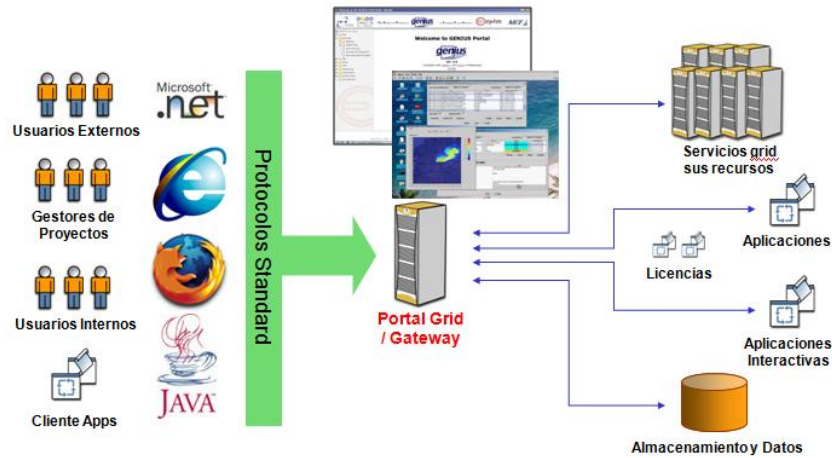


Figura 3.1: Un portal es un ambiente web seguro a través del cual una OV puede compartir contenido, acceder a los servicios grid y a aplicaciones.

Un portal es una entrada a un conjunto de servicios de red distribuidos que pueden ser accedidos desde un navegador. Un portal provee una interfaz común para estos servicios de tal manera que sus usuarios sientan que permanecen en el mismo ambiente cuando realmente están accediendo a diferentes tipos de servicios distribuidos. Los portales están constituidos por portlets. Los siguientes Portales Grid : OGCE Release 2, GridPort V4, NGS Portal release 2, contituyen los más importantes y grandes proyectos en la actualidad [54] [55] [56].

3.1.1 Conceptos claves

Portlet

Un portlet es un componente Web hecho en Java, portable, basado en estándares y manejado a través de un contenedor de portlets que procesa las peticiones de los clientes y produce contenido dinámico. El contenido generado por un portlet es llamado fragmento, una pieza de código (HTML, XHTML, WML) adherida a ciertas reglas. Un fragmento puede ser agregado a otros fragmentos a fin de formar un documento completo, por ejemplo un portal es un conjunto de fragmentos generados por diversos portlets.

El contenido generado por un portlet puede variar de un usuario a otro dependiendo de cómo haya configurado el usuario el portlet. A diferencia de los servlets, los portlets no tienen interacción directa con los clientes Web. En su lugar, los clientes Web interactúan con el portal a través de un mecanismo de solicitud/entrega aplicado por un contenedor de portlet el cual también maneja el ciclo de vida de los portlets.

Generalmente, los portlets tienen una clara separación entre el contenido y la presentación la cual es manejada por una o más clases de Java que contienen la aplicación lógica. Los portales usan a los portlets como componentes modulares para interfaz de usuario. Los portlets para aplicaciones científicas surgen como respuesta a la necesidad de simplificar el uso de dichas aplicaciones haciendo uso de interfaces amigables además de aprovechar la seguridad y el beneficio de la tecnología de grids.

Los portlets son similares a los servlets en que:

- Los portlets son manejados por un contenedor especializado
- Los portlets generan contenido dinámicamente
- El ciclo de vida de los portlets es controlado por el contenedor
- Los portlets interactúan con el cliente web mediante el uso del paradigma request/response

Los portlets son diferentes a los servlets en que:

- Los portlets son únicamente generados como fragmento de etiquetado y no como documentos completos
- Los portlets son accesibles directamente a una URL
- Los portlets no pueden generar contenido arbitrario, ya que el contenido de los portlets va a estar incluido la página del portal
- Si un servidor de un portal está solicitando html/text, entonces todos los portlets deben ser generados en text/html. Por otro lado si el servidor del portal está solicitando por WML, entonces cada portal deberá ser generado en contenido WML.

Contenedor Web

Un contenedor Web es un servidor que ejecuta servlets y permite el acceso a dichos servlets vía HTTP. El contenedor Web más usado en la actualidad es Apache Tomcat (versión actual 6.0.16). Otros contenedores Web incluyen Borland Enterprise Server, JBOSS, IBM Websphere, Resin, BEA WebLogic, Apple WebObjects, etc.

Contenedor de portlets

Un contenedor de portlets es un software corriendo como un App Java dentro de un contenedor Web como Apache Tomcat, el cual corre los portlets y les provee con el ambiente de ejecución adecuado. Un contenedor de portlets alberga los portlets y gestiona sus ciclos de vida. También provee mecanismos de almacenamiento persistentes para las preferencias de los portlets. Un contenedor de portlets recibe peticiones del portal para ejecutarlas en los portlets albergados por él. Un contenedor de portlets no es responsable por agregar el contenido producido por los portlets esto es tarea del portal. Sin embargo, los portlets tienen una manera muy limitada de interactuar con el contenedor, el Portlet API es prácticamente unidireccional. El contenedor de portlets puede operar como parte de o en forma independiente de un *marco de portal* (*portal framework*, también conocido como *servidor del portal*), el cual es responsable por los servicios de portales comunes.

Un típico framework de un portal generalmente proporciona funcionalidades como administración de cuentas de usuario y el despliegue de los portlets. Por lo tanto, la carga en los desarrolladores de portales se disminuye, y los desarrolladores pueden centrarse en el desarrollo del portlet, particularmente en la capa de la lógica del negocio. Ejemplos de contenedores de portlets de código abierto empleados comúnmente son: Gridsphere, Apache Pluto, jPortlet, JBOSS Portal, Jetspeed2, Liferay, Sun Java System Portal Server 7.0 etc. Contenedores de portlets comerciales incluyen: Oracle AS Java Portlet Container, IBM WebSphere, BEA WebLogic, etc.

Service Oriented Architecture (SOA)

SOA es un estilo de arquitectura que permite la creación de aplicaciones construidas combinando acoplamiento e interoperabilidad de servicios; SOA es independiente de la tecnología de desarrollo (como Java, .NET, etc.) y por ende del distribuidor. Según las indicaciones de Figura 3.2 SOA se expresa como una arquitectura de tres niveles en la cual las tres capas portal, servicio, y recursos, son iguales que la arquitectura de GridPort V4. Aquí la capa del servicio se ha ampliado de modo que la lógica de la presentación pueda ser incluida. Además, la capa de portal no es más que un contenedor de clientes del servicio, pero podría sí mismo ser abastecedor de servicio. Esto destaca a los servicios orientados a la presentación propuestos en WSRP (Web Service Remote Portlet, el cual se explicará más adelante) y hace que la capa del portal sea capaz de proporcionar componentes Web como servicios.

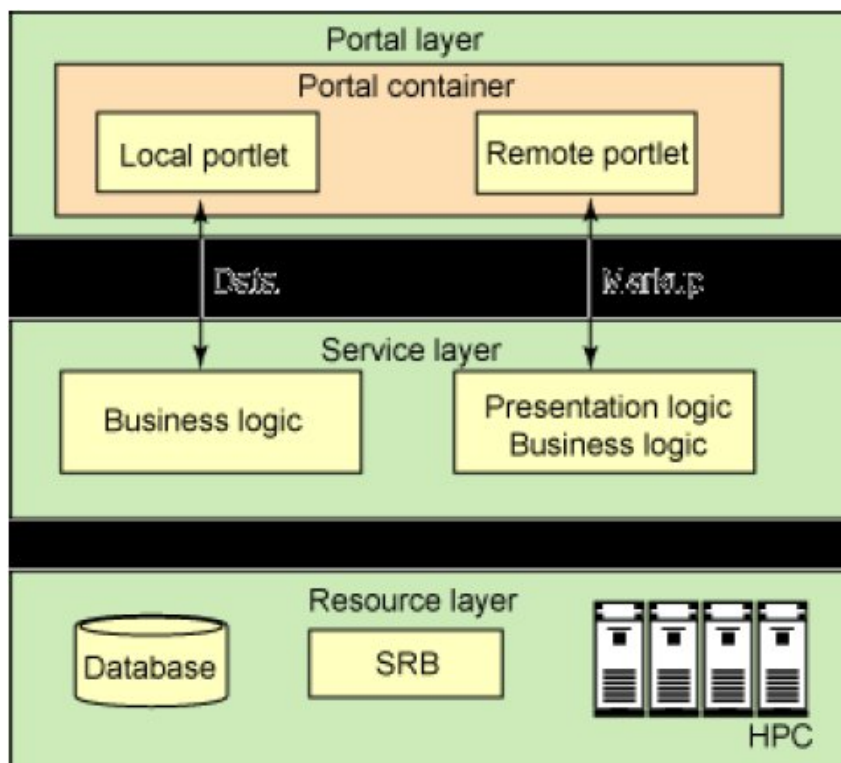


Figura 3.2: SOA para portales Grid.

Los portales Grid se dividen, generalmente, en portales orientados al usuario y portales

orientados a una aplicación. Los primeros son portales genéricos, diseñados para que los usuarios puedan utilizar los recursos del Grid . Los portales del segundo tipo son portales diseñados para que los usuarios utilicen una determinada aplicación.

3.1.2 Estándares Portlets

JSR 168

La especificación de portlet de Java (originalmente creada a través del JSR-168) provee un estándar para el desarrollo de componentes de portal con el lenguaje de programación Java. Esta especificación fue desarrollada bajo la JAVA COmmunity Process como Java Specification Request (JSR) 168 [57].

La meta principal del JSR (Java Specification Request) 168, es habilitar la interoperabilidad entre portlets y portales. Esta especificación define el contrato entre el portlet y el contenedor de portlets, y coloca un conjunto de APIs de portlets que se encargan del manejo del ciclo de vida del portlet, de la personalización (detección y establecimiento de estados de ventanas y modos del portlet), presentación (acceso a preferencias de usuario) y seguridad (acceso del portlet a la autenticación del usuario y a información de la sesión). La especificación también define el como empaquetar portlets en aplicaciones de portlets. Además esta especificación hace posible que desarrolladores de portlets intercambien componentes web. La Figure 3.3 muestra la Arquitectura de Referencia de un Portal JSR 168, presentada por Alejandro Abnelnur [58].

La industria de TI ha aceptado ampliamente al JSR 168. Todas las grandes compañías en el espacio de portales son parte del grupo de expertos del JSR 168: Apache, ATG, BEA, Boeing, Borland, Broadvision, Citrix, EDS, Fujitsu, Hitachi, IBM, Novell, Oracle, SAP, SAS Institute, Sun Microsystems, Sybase, TIBCO, y Vignette. La lista de patrocinantes es mucho mayor.

WSRP

A fin de correr portlets JSR 168 como portlets remotos se propuso la especificación del OASIS WSRP V1.0 . WSRP es un estándar para agregación de contenido, para acceder y mostrar contenido como portlets que están en un servidor remoto. En la Figura 3.4 [59] se muestra

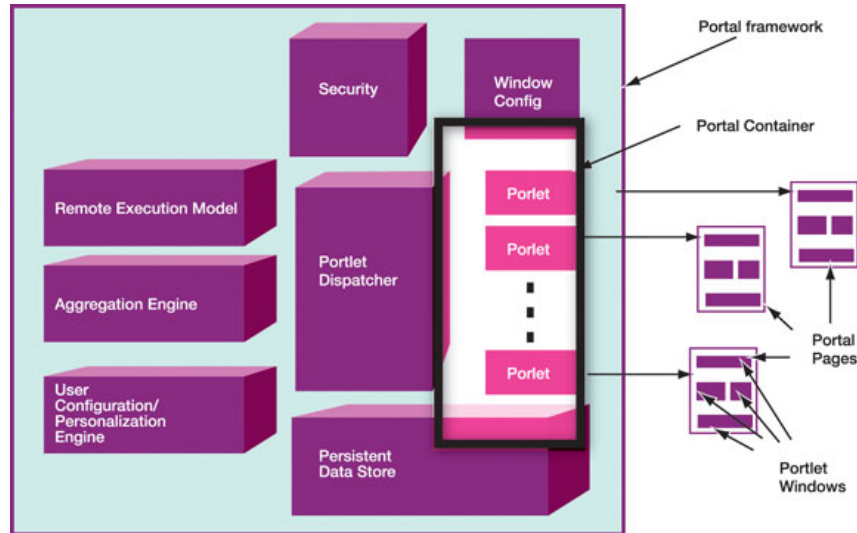


Figura 3.3: En esta arquitectura el portlet genera fragmentos que el contenedor de portlets envía al portal framework. El portal framework agrega un marco, un título y botones de control para crear la ventana del portal, la cual se convierte en parte de la página del portal

la Arquitectura de Referencia de un Portal WSRP que soporta tanto portlets remotos como portlets locales. Portlets locales corren sobre el servidor del portal (framework) e interactúan con él a través del Portal API (JSR 168 para frameworks basados en J2EE). Portlets remotos corren sobre otro servidor e interactúan con el servidor del portal a través de los Generic Portlet Proxies y WSRP. Generic Portlet Proxies permiten al servidor del portal interactuar con los portlets remotos de la misma manera en que interactúa con sus portlets locales, a través del Portal API. Mientras que WSRP provee el protocolo para que el servidor del portal interactúe con el servidor remoto

WSRP separa portlets de portales, este introduce los conceptos del productor y del consumidor. Un productor son los portal frameworks o aplicaciones de servicios Web que proveen servicios de portlets y un consumidor son las aplicaciones y portales que "consumen" estos servicios. WSRP define un portlet como un servicio Web que genera fragmentos y permite a los consumidores interactuar con ellos. Desafortunadamente, la actual puesta en práctica de WSRP para código abierto sigue siendo inmadura [60].

JSR 286 y WSRP V2.0, sucesores de JSR 168 y WSRP V1.0, están en forma de borrador

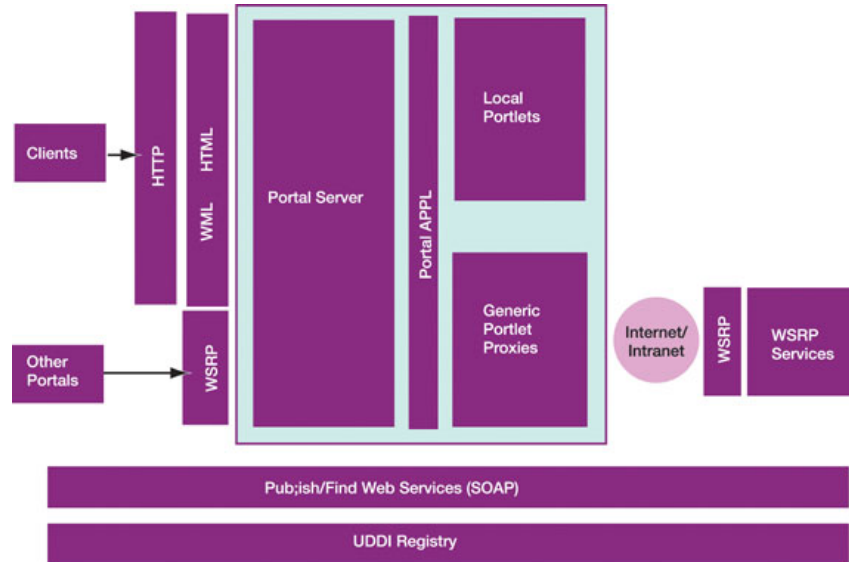


Figura 3.4: WSRP permite que los portlets locales pertenecientes al portal framework estén disponibles para otros portales.

aún y deben proporcionar mejoras en la comunicación entre portlets, y soportar tecnologías de Web 2.0.

3.1.3 Ciclo de vida de un portlet

Como se expuso anteriormente, es la función del contenedor de portlets manejar el ciclo de vida de un portlet. Cada portlet experimenta cuatro métodos en su ciclo de vida [54] [61]:

init(PortletConfig config)

es llamado una vez, inmediatamente después una nueva instancia del portlet es creada. Puede ser usada para ejecutar tareas de arranque y es similar al método `init` de un servlet. `PortletConfig` representa datos de configuración de sólo lectura, especificados en el archivo descriptor del portlet, `portlet.xml`. Por ejemplo, `PortletConfig` provee acceso a los parámetros de inicialización.

processAction(ActionRequest request, ActionResponse response)

es llamado en respuesta a la acción de un usuario como hacer click en un enlace o enviar una planilla, es decir, cuando el usuario envía cambios a un portlet. En este método, un portlet

puede invocar componentes lógicos como JavaBeans para lograr este objetivo. Las interfaces `ActionRequest` y `ActionResponse` son subinterfaces de `PortletRequest` y `PortletResponse`. La interface `ActionRequest` representa el envío de la solicitud del usuario al portal para que el mismo maneje la acción, mientras que la interface `ActionResponse` representa la respuesta de un portlet a una acción de un requerimiento del usuario. El contenedor de portlet crea un objeto `ActionResponse` y otro `ActionRequest` y los pasa como argumento a este método. En `processAction`, un portlet puede modificar su propio estado así como su información persistente.

render(RenderRequest request, RenderResponse response)

sigue al `processAction` en la cadena de métodos del ciclo de vida, es decir, es llamado cuando el portlet es redibujado por el desktop. `Render` genera el etiquetado que será accesible al usuario del portal. Los métodos `RenderRequest` y `RenderResponse`, también son subinterfaces de `PortletRequest` y `PortletResponse`, y están disponibles durante la visualización del portlet. La forma en la cual el método `render` genera la salida puede depender del estado actual del portlet.

destroy()

es el último en el ciclo de vida, llamado justo antes que la basura del portlet sea recogida y provee una última oportunidad de liberar los recursos del portlet.

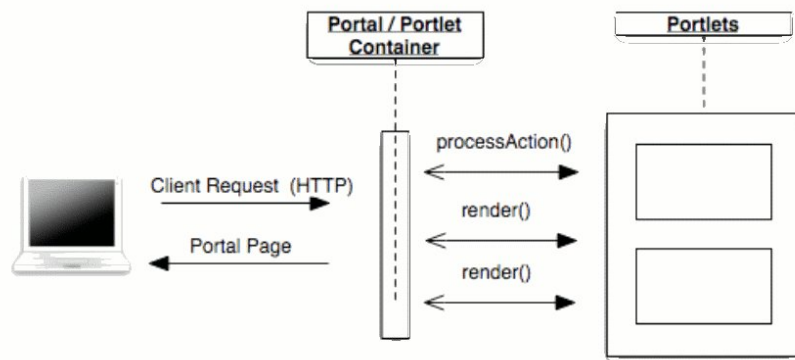


Figura 3.5: Flujo de datos dentro de un portlet.

3.1.4 Características de los portlets [2]

Modos del portlet

Los portlets desempeñan diferentes tareas y crean contenidos de acuerdo a su función actual. Un modo de portlet indica la función que un portlet está desempeñando en cierto momento. Un modo de portlet especifica el tipo de tarea que el portlet debería desempeñar y que contenido debería generar. Cuando se invoca a un portlet, el contenedor de portlets provee el modo para el actual requerimiento al portlet. Los portlets pueden programáticamente cambiar su modo mientras procesan una petición de acción.

JSR 168 define 3 categorías de modos de portlet:

- **Edit** Muestra una o más vistas que permiten al usuario personalizar los parámetros del portlet.
- **Help** Muestra pantallas de ayuda.
- **View** Muestra la salida del portlet.

Además de los métodos mencionados en la sección anterior los cuales son llamados directamente por el contenedor, la clase `GenericPortlet` puede implementar el método `render()` y delegar el llamado a métodos más específicos para mostrar el portlet basado en su modo. Estos métodos son:

- **doEdit()** Llamado por `render()` cuando el portlet esta en modo `Edit`. Contiene la lógica que visualiza la página `Edit` para el portlet.
- **doHelp()** Llamado por `render()` cuando el portlet esta en modo `Help`. Contiene la lógica que visualiza la página `Help` para el portlet.
- **doView()** Llamado por `render()` cuando el portlet esta en modo `View`. Contiene la lógica que visualiza la página `View` para el portlet.

Estado de ventana

Un estado de ventana es un indicador de la cantidad del espacio de portal asignado al contenido generado por un portlet. El contenedor de portlets provee el estado de ventana inicial al portlet, y el portlet usa este estado de ventana para decidir cuanta información debería mostrar. No obstante, Los portlets pueden programáticamente cambiar su estado de ventana mientras procesan una petición de acción.

JSR 168 define los siguientes estados de ventana:

- **Normal** El portlet comparte el espacio con otros portlets y debería tomar esto en cuenta cuando produzca su salida.
- **Maximized** Una ventana tiene mayor espacio para colocar su salida más que en su estado de ventana normal.
- **Minimized** El portlet debería producir una salida mínima o nula.

Aparte de estos estados de ventana, JSR 168 permite al portal definir estados de ventana personalizados.

Modelo de datos

JSR 168 define diferentes mecanismos para que el portlet acceda a datos transitorios y persistentes. El portlet puede colocar y obtener datos transitorios en los siguientes escenarios:

- **Request:** La petición tiene datos incluidos, como los parámetros y atributos de la petición, similar a la petición del servlet. La petición puede contener propiedades para permitir que la extensión y los encabezados del cliente sean transportados del portal al portlet y viceversa.
- **Session:** El portlet puede guardar datos en la sesión con alcance global, para dejar que otros componentes de la aplicación Web tengan acceso a los datos, o en el alcance del portlet, el cual es de acceso restringido al portlet.

- **Context:** El portlet puede guardar datos en el contexto de la aplicación Web, así como lo hacen los servlets.

El portlet puede acceder a datos persistentes con estos alcances:

- **Por portlet:** El portlet puede guardar datos de configuración y personalización en las preferencias del portlet para habilitar al portlet crear salidas personalizadas. El portlet puede definir que datos el usuario puede cambiar en el modo de edición (por ejemplo, cuenta de correo), y que datos son parámetros de configuración que solo pueden ser cambiados por un administrador en el modo de configuración (por ejemplo, el servidor de correos).
- **Por usuario:** La información del perfil del usuario puede ser leída por el portlet para confeccionar su salida en función al usuario (por ejemplo, mostrar el clima de la ciudad donde el usuario vive).

Todos los recursos, portlets, descriptores de despliegue son empaquetados juntos en un archivo de aplicación Web (WAR) que se conoce como *portlet application*. Existen 2 descriptores de despliegue:

- Todos los recursos de aplicación que no son portlets deben ser especificados en el descriptor de despliegue *web.xml*.
- Todos los portlets y las configuraciones de portlets deben ser especificados en el descriptor de despliegue *portlet.xml*.

3.2 Herramientas para Portales Grid

Actualmente existen varias herramientas para el desarrollo de portales que se integran con sus implementaciones grid. Entre ellas podemos citar: Grid Portal Development Kit (GPDK), Legion Grid Portal, Grid Portal Toolkit (GridPort), Sun Technical Computing Portal e GridSphere.

3.2.1 GridSphere

El marco de portal GridSphere provee un portal Web de código abierto. GridSphere permite a los desarrolladores desplegar portlets de aplicaciones Web de terceros que pueden ser corridos y

administrados a través del contenedor de portlet del GridSphere. El marco de portal GridSphere ofrece las siguientes características:

- Implementación del API de portlet 100
- Desarrollo de portlets usando el estándar JavaServer Faces (JSF).
- Implementación de API de portlet adicional casi completamente compatible con WebSphere® 4.2 de IBM (otro contenedor de portlets).
- Soporte para el fácil desarrollo e integración de nuevos portlets de aplicaciones.
- Modelo de alto nivel para construir portlets complejos usando "beans" visuales y la librería de etiquetas de la interfaz de usuario del GridSphere.
- Presentación flexible basada en XML que puede ser fácilmente modificada para crear disposiciones del portal personalizadas.
- Modelo de servicio de portlets sofisticado que puede encapsular lógica de portlet reutilizable en servicios que pueden ser compartidos entre muchos portlets.
- La persistencia de la data para soporte de bases de datos a través del uso de Hibernate JDO/OQL
- Unidades de prueba Junit/Cactus integradas para probar completamente los servicios de portlets del lado del servidor incluyendo la generación de reportes de prueba.
- Soporte para múltiples idiomas. Es de código abierto y 100

3.2.2 GridPort

El conjunto de herramientas GridPort permite el rápido desarrollo de portales grid altamente funcionales que simplifican el uso de los servicios grid subyacentes al usuario final. Comprende de un juego de portlets y servicios en la capa de portal que proveen acceso a un amplio rango de servicios grid y de información provistos por tecnología grid de bajo nivel como Globus, el Repositorio de Información del Portal Grid (GPIR), y Condor. Los portlets estos servicios a

través de interfaces Web configurables a fin de permitir la personalización de las interfaces de usuario del portal grid. GridPort está diseñado para ser usado por desarrolladores de portales grid, portlets y aplicaciones.

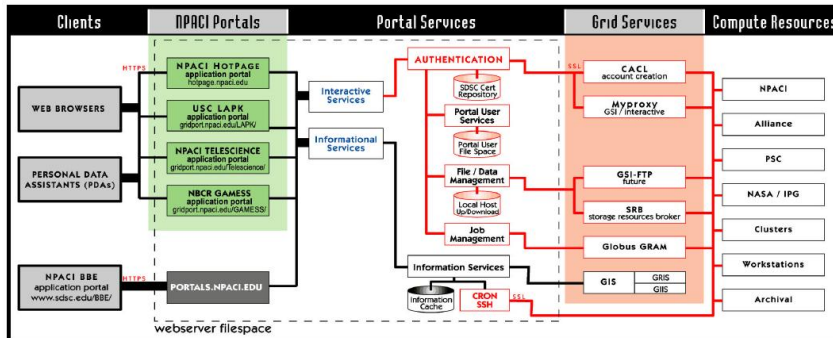


Figura 3.6: El diagrama indica los servicios de portal y los servicios a los que puede acceder en general a través de un portal (en este caso se hace referencia al portal NPACI, basado en GridPort).

Esta capa puede fundamentalmente transformar la facilidad y la velocidad con la que los desarrolladores de interfaces de usuario pueden superar la brecha entre los usuarios finales y el grid. GridPort es un proyecto del Texas Advanced Computing Center (TACC) que empezó en 1997 y fue creado inicialmente para crear la NPACI HotPage Portal *, pero recientemente se ha convertido en parte del proyecto de software para portales Open Grid Computing Environments (OGCE), el cual provee herramientas de software adicionales como Extreme Lab, Community Grids Lab, y el proyecto Sakai. Los componentes de GridPort 4.0 que constituyen la última versión forman una arquitectura tipo SOA y son los siguientes:

- Autenticación (Proxymanager Portlet)
 - Usando el repositorio del GridPort
 - Usando MyProxy
- Manejo de archivos (File Management Portlet)
 - Listado de archivos

*<http://www.npaci.edu/online/>

- Transferencia de archivos
- Manejo de recursos
 - Visualización de estado de recursos (GPIR Browser Portlet, el cual soporta servicios Web)
 - Envío de trabajos simples (GRAM Job Submission Portlet)
 - Envío de trabajos para Condor (Condor Job Submission Portlet)
 - Los servicios de información sobre el estado de los recursos (Grid Resource Information System (GIS/GRIS) de Globus)
- Servicios independientes
 - Los servicios Web GPIR y CFT han sido extraídos del GridPort y ahora pueden ser instalados por separados.
 - Estos servicios ahora incluyen una base de datos liviana Hypersonic SQL lista para instalar que hace su instalación y uso más sencilla que antes

GridPort emplea Tomcat como contenedor Web y GridSphere como contenedor de portlets.

3.2.3 GPDK

GPDK [62] (iniciales de Grid Portal Development Kit) proporciona tanto un entorno de desarrollo para crear nuevos portales como una colección de componentes Java para realizar operaciones básicas sobre el Grid , tales como envío de tareas, transferencias de ficheros, obtención de información, etc. GPDK propone una arquitectura de tres capas: servidor web, Globus y Grid. Primero, el navegador se comunica con el servidor web utilizando una conexión segura. El servidor web puede acceder a los servicios del Grid utilizando la infraestructura de Globus. Un portal de GPDK es una aplicación web construida utilizando tecnologías JSP (Java Servlet Pages) y Java Beans, que se ejecutan sobre Tomcat, el servidor de aplicaciones Java de referencia.

Tomcat se puede configurar para funcionar tras cualquier servidor web del mercado. Los componentes Java proporcionados por GPDK proporcionan un interfaz de alto nivel que engloba

las funcionalidades de "Java CoG kit" [63] y de otras bibliotecas de clases commodity que proporcionan servicios de gestión de certificados y consulta de información. "Java CoG kit" proporciona acceso a servicios del Grid a través del entorno Java. Con "Java CoG kit" se proporcionan bibliotecas de clases para incorporar en aplicaciones Java, así como utilidades de línea de comandos implementadas con estas clases.

3.3 Resumen

El middleware se encarga de exponer los recursos distribuidos que conforman un Grid de manera transparente. Sin embargo, la utilización de estos recursos no resulta del todo sencilla. Es así que surge la creación de Portales Grid, que es una aplicación basada en Web que actúa como interfaz entre el usuario y el entorno Grid. La función principal del portal es ocultar la complejidad de la infraestructura Grid para acercarla a usuarios no especializados. Un portal está compuesto por un conjunto de interfaces, donde cada una facilita la interacción con las aplicaciones y/o funcionalidades del Grid, dichas interfaces se denominan portlets. En la actualidad existen muchos portales y portlets con diversos propósitos, entre ellos tenemos Portal NASA QuakeSim [†], el cual realiza simulaciones geofísicas; el GridChem referente a propiedades de diversos compuestos químicos [‡], BIRN un portal de biomedicina [§], y los portlets Gaussian y MPQC [¶], estos últimos proveen interfaces para los programas de química cuántica GAUSSIAN^{||} y MPQC^{**}. Los servicios de portales incluyen típicamente personalización, seguridad, manejo de datos, envío de trabajos, servicios de información, servicios de colaboración y puede proveer herramientas de visualización de datos.

[†]NASA JPL QuakeSim Portal <http://complexity.ucs.indiana.edu:8282>

[‡]GridChem Project <http://lqcd.jlab.org/>

[§]BIRN Portal <https://portal.nbirn.net/gridsphere/gridsphere>

[¶]Computacional Chemistry CeCalcula <http://quantum.cecalc.ula.ve/>

^{||}<http://www.gaussian.com>

^{**}<http://www.mpqc.org/>

Captulo 4

Portlet CHOQUE

Este portlet ha sido diseñado para ser usado por la comunidad de astrofísica relativista (tanto docentes como investigadores) quienes encontrarán una herramienta para simular la propagación de discontinuidades hidrodinámicas en esferas radiantes. En este caso se trabaja con un código numérico desarrollado en fortran cuyas bases físicas fueron establecidas en el Capítulo 5. El portlet proporciona una forma sencilla de generar archivos de entrada para las subrutinas en fortran que ejecutan los cálculos y luego mandar a procesar estos mismos en un GRID para luego mostrar los resultados obtenidos.

4.1 Recursos computacionales

El portlet objeto del presente proyecto se desarrolló en un Grid instalado utilizando gLite 3.10.01 en la Universidad de Los Andes (ULA). El Grid de la ULA el cual se encuentra instalado en CeCalCULA, esta compuesto por una serie de servicios que utilizan hardware heterogéneo, la descripción de este hardware es mostrado en la siguiente Tabla 4.1

Tabla 4.1: Hardware de CeCalCULA utilizado en los proyectos de Grid.

Cantidad	Marca	Modelo	Memoria	DD (GB)
4	Sun	V20z	4 GB	147
4	Sun	X4100	8 GB	147
8	Clon	Pentium IV	512 MB	80

Además, se cuenta con un equipo de almacenamiento de datos de la marca SUN modelo 3300 con una capacidad de 1 TB. El sistema operativo instalado actualmente en el Grid de la ULA es el Scientific Linux versión 3.0.8 *. La instalación se hizo utilizando el repositorio dispuesto por EELA que se encuentra en la UFRJ en Brasil. Para la implementación de portlets en el Grid se instalo en una misma maquina GridPort 4.0 y un User Interface utilizando el middleware gLite 3.0.1.

4.2 Arquitectura de portlet CHOQUE

Para el desarrollo del portlet CHOQUE se utilizo el GridPort, un conjunto de herramientas de software que facilita de construcción de portales grid. En este caso se hizo uso de su módulo de autenticación compuesto por la Infraestructura de Seguridad Grid de Globus (Globus Grid Security Infrastructure (GSI)) y Myproxy, este último es un repositorio de credenciales en línea. GridPort está diseñado para enviar y monitorear trabajos a GT, sin embargo el middleware empleando en el Grid de la ULA es glite, es por ello que fue necesario emplear en la parte lógica del portlet los comandos propios del middleware gLite a fin de enviar, monitorear y recuperar los trabajos.

El marco de portal empleado es GridPort 4.0 y el contenedor Web empleado es Apache Tomcat 5.0 † en combinación con Apache Maven 1.0.2 ‡ . GridPort permite crear portlets de aplicación bajo la especificación JSR 168, que pueden correr y ser administrados en el contenedor de portlets GridSphere 2.2. Maven es una herramienta de software usada para la construcción y manejo de cualquier proyecto basado en Java, que proporciona una estructura de proyecto bien definida, unos procesos de desarrollo bien definidos a seguir, y una documentación coherente que mantiene a los desarrolladores y clientes informados sobre lo que ocurre en el proyecto. Maven es capaz de construir el proyecto en diferentes tipos de salidas como JAR o WAR con facilidad.

Por otra parte, los recursos utilizados incluyen el hardware descrito en la sección anterior y el compilador de fortran G95. La arquitectura es tipo SOA y puede observarse en la Figura 4.1.

*<https://www.scientificlinux.org/>

†<http://tomcat.apache.org/>

‡Maven <http://maven.apache.org/>

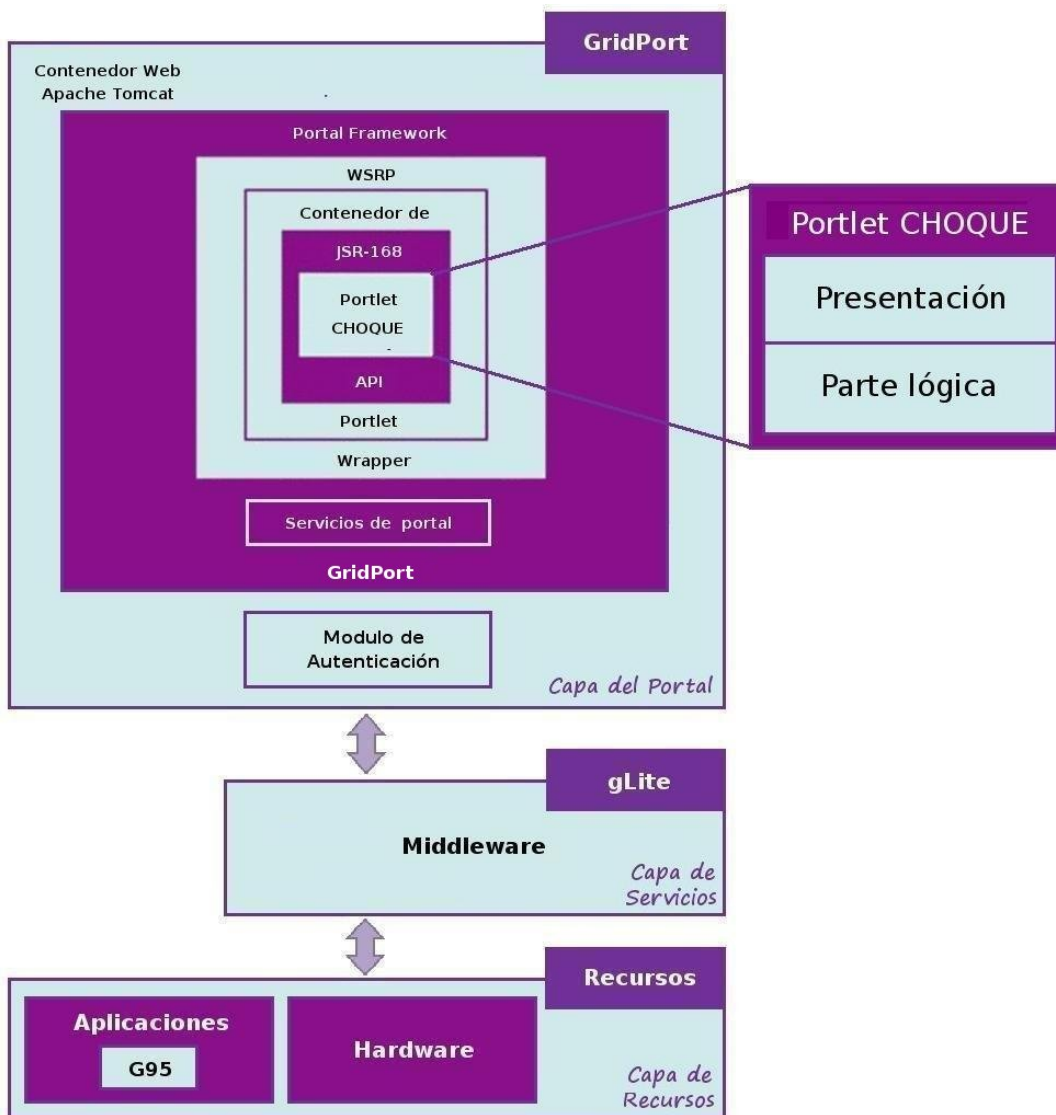


Figura 4.1: Arquitectura del portlet CHOQUE

Además se empleó el entorno de programación Eclipse[§] como herramienta de desarrollo IDE (Integrated Development Environment).

[§]Eclipse <http://www.eclipse.org>

4.3 Estructura de directorios del portlet CHOQUE

La especificación para portlets JSR 168 especifica que los componentes del portlet debe ser empaquetados y desplegados como parte de un archivo de aplicación Web (WAR) estándar; es por ello que se utiliza Apache Maven. La Figura 4.2 se muestra la estructura de directorios del portlet CHOQUE, la es muy útil en el desarrollo y empaquetamiento del portlet. Esta estructura contiene lo siguiente:

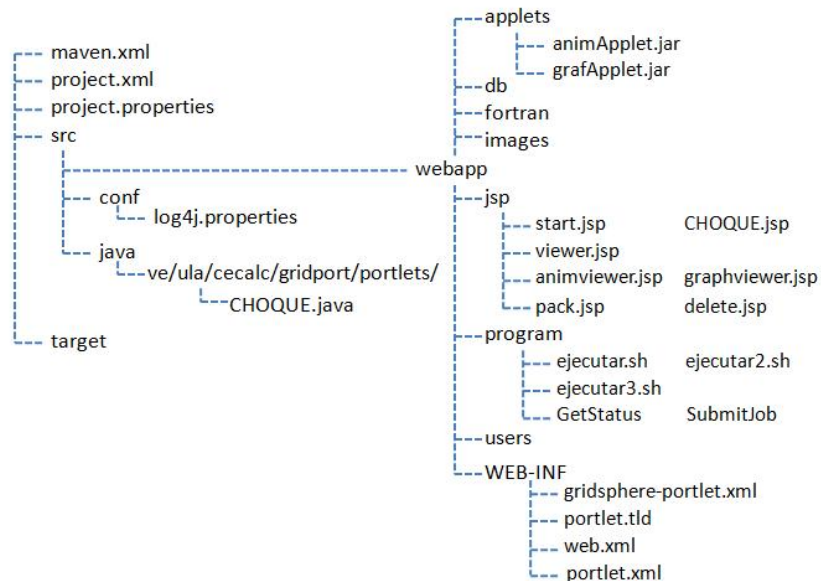


Figura 4.2: Estructura de directorios y archivos del portlet CHOQUE

1. **compilar:** con el comando `./compilar` se despliega el portlet en el portal (**maven-deploywar**) y de reiniciar el servidor Web Tomcat (`$CATALINA_HOME/bin/shutdown.sh`; `$CATALINA_HOME/bin/startup.sh`).
2. **maven.xml:** contiene objetivos adicionales del proyecto, este archivo se encuentra en el mismo directorio que `project.xml` a fin de que sea cargado y sus objetivos sean procesados cuando el portlet sea desplegado.

3. **project.properties**: este archivo define los repositorios de Maven y la localización del Tomcat.
4. **project.xml**: es el archivo descriptor del proyecto. Contiene dos secciones principales: las dependencias del proyecto y los recursos del proyecto (como los archivos properties). Por ejemplo, la dependencia jglobus.jar provee las clases necesarias para obtener una credencial Grid y portlet-api-1.0.1.jar provee las clases e interfaces de la especificación JSR 168.
5. **src/java**: en este directorio se encuentra el archivo CHOQUE.java que extiende de GenericPortlet, este archivo corresponde a la parte lógica del portlet.
6. **src/conf**: aquí está ubicado log4j.properties en el cual se define la configuración Log4j.
7. **src/webapp**:
 - 7.a. **applets**: es la ubicación de los archivos circuloApplet.jar y grafApplet.jar.
 - 7.b. **db**: contiene archivos HSQL[¶]. HSQL es un sistema gestor de bases de datos escrito en Java.
 - 7.c. **fortran**: en este directorio se ubican las subrutinas de fortran que realizan los cálculos.
 - 7.d. **images**: ubicación de las imágenes empleadas en la interfaz gráfica del portlet.
 - 7.e. **jsp**: ubicación de los archivos de interfase Web, es decir, de los archivos JSP.
 - 7.f. **program**: en este directorio se ubican los script ejecutar.sh ejecutar2.sh y ejecutar3.sh son los encargados de enviar, consultar y traer los trabajos del Grid empleando comandos propios de gLite.
 - 7.g. **users**: es el directorio de los usuarios.
 - 7.h. **WEB_INF**:
 - 7.h.a. **gridsphere-portlet.xml**: especifica un portlet de GridSphere que se encarga de cargar el portlet.

[¶]HSQL <http://www.hsqldb.org/>

- 7.h.b. **portlet.tld**: en este archivo se incluye una librería JSP tag para ayudar a desplegar páginas del portlet con tecnología JSP. Por ejemplo un JSP tag declara automáticamente los objetos request y response a fin de que ellos puedan ser empleados en los archivos JSP.
 - 7.h.c. **portlet.xml**: es el descriptor de despliegue del portlet el cual define la meta información que necesita el contenedor de portlets para correrlo. Para cada definición en portlet.xml el contenedor de portlet instancia un objeto único de esa clase para despachar todas las solicitudes realizadas al portlet. En resumen, es el archivo de configuración del portlet.
portlet-name, portlet-class, init-param y user-attribute definen el nombre, la clase, los parámetros iniciales y atributos para el portlet como la localización del proxy, el puerto y el usuario y password en la base de datos. Los elementos supports definen que tipo de contenido soporta el portlet y los modos del portlet disponibles, en este caso solo está definido el modo VIEW y el contenido es text/html. el elemento portlet-info es utilizado para establecer el título por default del portlet y las keywords.
 - 7.h.d. **web.xml**: como una aplicación portlet es una aplicación web extendida, se debe incluir un archivo web.xml, el cual es el descriptor de despliegue web que define las clases usadas por el portlet y el nombre de la aplicación portlet. Cada portlet es mapeado a un servidor definido en web.xml, en este caso se especifica el servidor de GridSphere que carga el portlet.
8. **target**: éste subdirectorío es creado por Maven cuando se compila y empaqueta el portlet (**./compilar**) para ser utilizado como un workspace. La estructura de subdirectoríos dentro de target es la estructura de directoríos descrita anteriormente, además es aquí donde se guarda el archivo WAR creado.

El archivo WAR creado incluye las clases de java compiladas, todos los archivos jar requeridos como gridsphere-ui-tags.jar el cual es un archivo específico del contenedor, el archivo WEB-INF/web.mxl, el archivo WEB-INF/portlet.xml y la librería JSP tag

4.4 Métodos del portlet CHOQUE

Se trabaja principalmente con tres métodos, `init()`, `processAction()` y `doView()` definidos la especificación JSR 168. Cuando el portlet es instanciado por primera vez, el método `init()` es invocado y provee al portlet con las inicializaciones e información de configuración necesarias para manejar las solicitudes realizadas al portlet, además crea la base de datos de CHOQUE y proporciona permisos de ejecución a los script `ejecutar.sh`, `ejecutar2.sh` y `ejecutar3.sh`. En la base de datos se almacenan el nombre del usuario, su password, el status del trabajo y el identificador asignado al trabajo enviado por el usuario. Los valores de los parámetros iniciales se obtienen empleando `getInitParameter()` para obtener la información del archivo `portlet.xml`.

El modelo de un portlet en general separa la presentación (rendering del portlet) de la parte lógica (operaciones que se llevan a cabo en respuesta a una acción ocurrida) del portlet en distintos métodos (ver Figura 4.1). En el caso del portlet CHOQUE la presentación está a cargo del método `doView()` y la parte lógica del método `processAction()`.

`doView(RenderRequest request, RenderResponse response)` es el método que selecciona que respuesta mostrar por pantalla, es decir, que jsp desplegar y también actualiza la base de datos. Los datos que este metodo recibe vienen del `processAction()`, y envía datos a los archivos jsp. Para obtener un dato que proviene del `processAction()` se utiliza `getParameter("nombre del parametro a capturar")`, mientras que para enviar un dato (cadena de caracteres) a un archivo jsp se utiliza `setAttribute("nombre variable en el jsp", variable que se envia)`.

`processAction(ActionRequest request, ActionResponse response)` es el método encargado de procesar los datos enviados por algun jsp, ejecutar ciertos procesos y luego enviar datos al método `doView`. Para capturar y almacenar las variables y el contenido del archivo jsp se hace uso de una hashtable, mientras que para enviar un dato al `doView()` se utiliza `setRenderParameter("nombre variable en el en el doView", variable que se envia)`. El flujo de los datos en el portlet CHOQUE pueden ser visualizados en la Figura ??.

El contenedor de portlets es el encargado de invocar al método `doView()` para desplegar el portlet y de invocar al `processAction()` cuando el portlet recibe un evento, por ejemplo el usuario hizo click sobre un botón o envió un formulario. Cada evento en el portlet CHOQUE es

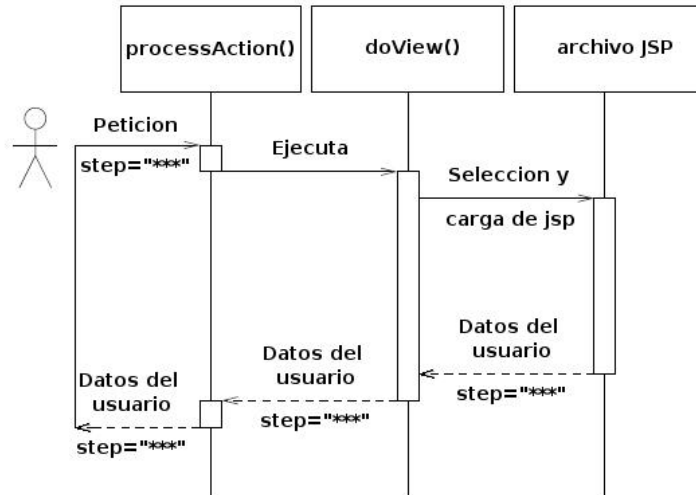


Figura 4.3: Interacciones entre los métodos del portlet CHOQUE tras una petición del usuario.

detectado mediante un cambio en una variable llamada *step*, los casos son los siguientes:

- a. **step="start"**: es el valor default de step, en ese caso se actualiza la base de datos y el doView despliega el archivo start.jsp, en el cual se muestran el nombre de los trabajos que han sido enviados, la fecha y la hora en la que fueron enviados, su status, existe un botón para eliminarlos, un botón para visualizar y/u obtener los archivos de salida y otro para crear un nuevo trabajo.
- b. **step="step 1"**: doView despliega el archivo CHOQUE.jsp, en el cual se encuentra un formulario donde el usuario introduce los parámetros de entrada del sistema, el nombre del trabajo y una breve descripción. La validación de los datos se realiza a través de funciones hechas en JavaScript.
- c. **step="step 2"**: processAction almacena los valores de los parámetros introducidos por el usuario en la hashtable, crea el archivo de entrada para las subrutinas de fortran, crea el archivo del trabajo a enviar al Grid en formato jdl^{||} (Job Description Language), crea el ejecutable incluido en el jdl y luego envía estos archivos al Grid.

^{||}JDL <http://www.grid.org.tr/servisler/dokumanlar/DataGrid-JDL-HowTo.pdf>

Para realizar el envío de este trabajo al Grid se debe realizar 2 operaciones: Petición de procesamiento al grid, para ello para ello se ejecuta el script ejecutar.sh, el cual envía el jdl empleando el comando de Glite `glite-job-submit`. Transferencia del archivo desde el servidor del portal a los recursos remotos (a través del uso del GridFTP) donde será procesado por las subrutinas de fortran que integran numéricamente el sistema de ecuaciones diferenciales en la superficie de la distribución y luego evalúan las expresiones para las funciones métricas para determinar y validar el valor de las variables físicas.

Finalmente se actualiza la base de datos y se muestra `start.jsp`. A fin de actualizar el estado del trabajo en la base de datos se ejecuta el script `ejecutar2.sh`, el cual emplea el comando `glite-job-status`.

- d. **step="view"**: si el estado del trabajo es DONE o CLEARED, se recuperan los archivos de salida del trabajo enviado ejecutando el script `ejecutar3.sh` el cual emplea el comando `glite-job-output`. Luego se instancia el método `selectApplet()`, este se encarga de seleccionar si los archivos serán visualizados empleando el applet `animApplet` o `graphApplet`. `doView` despliega el archivo `viewer.jsp` este posee un `comboBox` para seleccionar el tipo de visualización y un botón para obtener un comprimido con los archivos de salida del trabajo.
- e. **step="graphview"**: el `processAction()` instancia el método `viewer()` cuya salida es la dirección del archivo de salida del trabajo que se pasará como parámetro al applet `grafApplet`, el archivo dependerá de que variable física (velocidad radial, presión radial hidrodinámica, presión radial de radiación, presión tangencial hidrodinámica, presión tangencial de radiación, presión total, flujo de radiación, densidad de energía hidrodinámica, densidad de energía de radiación y/o densidad de energía total) seleccione el usuario en el `comboBox` de `graphviewer.jsp` (ésta es la página que contiene el applet `grafApplet`). Por defecto el archivo a visualizar es el correspondiente a la velocidad radial de la esfera.
- f. **step="animview"**: el `processAction()` instancia el método `viewer()` cuya salida es la dirección del archivo que se pasará como parámetro al applet `animApplet`, el archivo de la

salida del trabajo que se visualizará dependerá de que variable física seleccione el usuario en el comboBox de animviewer.jsp (ésta es la página que contiene el applet animApplet). De nuevo, el archivo default a visualizar es el correspondiente a la velocidad radial de la esfera.

- g. **step="pack"**: processAction empaqueta el contenido de la sesión en un archivo .tgz y doView despliega el archivo pack.jsp, en el cual se encuentra una confirmación de que el contenido de la sesión fue empaquetado.
- h. **step="delete"**: en este caso processAction invoca el método deleteDir() que elimina el proyecto completo en cuestión, archivos y datos en la BD. doView muestra el archivo delete.jsp en el cual se encuentra una confirmación de que el contenido de la sesión fue borrado.

4.5 Archivo jdl y envío de un trabajo en gLite

El Job Description Language (JDL) es usado para describir los trabajos a ejecutar en el Grid; para especificar las características del trabajo: el ejecutable que será usado, los archivos de entrada (InputSandbox), de salida (OutputSandbox) y los requerimientos para que el trabajo sea ejecutado utilizando el middleware gLite; dichas características serán usadas por el WMS para seleccionar el mejor recurso que satisfaga los requerimientos del trabajo. En la Figura ?? se muestra un ejemplo de un archivo jdl que describe un trabajo enviado empleando el portlet CHOQUE.

```
Type="Job";
```

```
JobType="Normal";
```

```
Executable="trabajo1.sh";
```

```
StdOutput="trabajo1.out"; StdError="trabajo1.err";
```

```
InputSandbox={"trabajo1.sh","makefile","acepta.f","main.f","derivs.f",
```

```
"evalvarfis.f","imprime.f","integrador.f","metdermanto.f","metdernucleo.f",
"varfis.f","varfisenCmanto.f","varfisenCnucleo.f","datos.dat","global.inc"};
```

```
OutputSandbox={"trabajo1.out","trabajo1.err","supmaschoque.res","lum.res",
"vfcmas.res","vfcmenos.res","omega.res","Pr.res","flujorad.res","rho.res",
"rhoR.res","PreR.res","rhobarra.res","presbarra.res","pretanR.res",
"pretan.res","ptbarra.res","radio.res"};
```

```
Requirements =
```

```
Member("G95-3.5.0",other.GlueHostApplicationSoftwareRunTimeEnvironment);
```

```
RetryCount = 7;
```

GridPort accesa al Grid desde una máquina User Interface (UI) con la Certification Authority (CA) del usuario para crear su certificado proxy y autenticarlo empleando MyProxy (parte superior izquierda de la figura); una vez creado el archivo jdl por el portlet CHOQUE y que se ha ejecutado el script ejecutar.sh el trabajo es enviado desde la UI hacia el Resource Broker (RS) (parte superior central de la figura). El Resource Broker es la máquina donde corren los servicios del Workload Manager System (WMS). En ese momento un evento es registrado en el Logging and bookkeeping service (LB) y el status del trabajo es SUBMITTED.

El RB solicita al Grid Information System (parte derecha de la figura) el estado actual de los recursos computacionales y de almacenamiento y al Replica Catalog (parte superior derecha) la localización de cualquier archivo externo que necesite el trabajo y no este incluido en Input-Sandbox, de ésta manera puede seleccionar cual es el mejor Computing Element (CE) y Storage Element (SE) para correr el trabajo (parte inferior derecha). El Grid Information System es una cache interna de información leída desde el Berkeley Database Information Index (BDII). Otro evento es registrado en el LB y el status del trabajo pasa a WAITING.

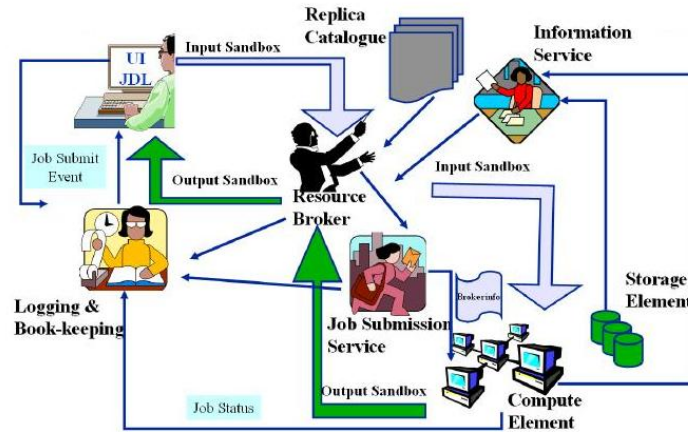


Figura 4.4: Secuencia de ejecución de un trabajo empleando gLite.

Posteriormente el RB prepara el trabajo para enviarlo creando un script wrapper el cual es transferido en conjunto con otros parámetros al CE seleccionado, en ese momento el status del trabajo pasa a ser READY.

El CE recibe la solicitud y envía el trabajo a ejecutar al Local Resource Management System (LRMS). Un evento es registrado en el LB y el status del trabajo cambia a SCHEDULED.

El LRMS maneja la ejecución de los trabajos en los Worker Nodes (WN) locales. El Input-Sandbox es copiado desde el RB a un WN disponible, en el cual es trabajo es ejecutado. En ese momento el estado del trabajo cambia a RUNNING. El status del trabajo puede solicitado por el usuario todo el tiempo.

Si el trabajo culmina sin errores, los archivos especificados en el OutputSandbox son transferidos al RB y el status del trabajo pasa a ser DONE. En este punto, el usuario puede hacer click sobre el botón de archivos en start.jsp, la variable step adquirirá el valor "step 2" y será ejecutado el script ejecutar3.sh, el cual recupera los archivos de salida del trabajo y los envía a la UI. Nuevamente un evento es registrado en el LB y el status del trabajo cambia a CLEARED.

Si el sitio donde se envió el trabajo no puede aceptarlo, el mismo será automáticamente redirigido a otro CE que satisfaga los requerimientos. Luego de un máximo número de reenvíos el status del trabajo será establecido como ABORTED.

4.6 Visualización científica en el portlet CHOQUE

Las técnicas de visualización empleadas en el portlet CHOQUE son implementadas en applets que permiten observar y analizar la evolución de la variable física con respecto al radio de la configuración esférica en el tiempo y posibilitan la comunicación entre el usuario y el programa por medio de los controles que se disponen en sus áreas de trabajo. Estos applets se encargan de la visualización de los archivos de salida de las subrutinas de fortran.

La clase grafApplet derivada de Applet que implementa el interface Runnable se encarga de leer el archivo de radios de la configuración y el archivo de una de las variables físicas (para lo cual instancia la clase readFile) cuyos nombres y ubicación son pasados como parámetros al applet desde graphviewer.jsp y de proveer una visualización tradicional de la variable física en estudio $F(r)$ mediante gráficos de líneas $F(r)$ vs. r (para ello instancia la clase DrawingArea).

Mientras que la clase animApplet recibe los nombres, la ubicación de los archivos y el tipo de mapeo por color (mapeo por color arcoiris, isomórfico o segmentado) que el usuario desea, desde animviewer.jsp como parámetros y realiza una asociación entre un arreglo de colores y la distribución de los valores de la variable física en el interior de la configuración material y mediante la presentación de ésta, cuadro a cuadro, la evolución del modelo es evidente. El código de colores empleado para crear los arreglos de colores empleados fue RGB.

4.7 Un paseo por el portlet

Es posible conectarse al portal GridPort, accediendo a la dirección <https://grid012.cecalc.ula.ve:8080/gridsphere/>. Luego de acceder al portal se hace click en la pestaña de CHOQUE, y se verá la página de trabajos (start.jsp). En esta página se puede crear nuevos trabajos o ver los trabajos creados por el usuario anteriormente, comentarios y estado del trabajo. Además tiene la opción de ver los archivos creados en trabajos anteriores y borrar los trabajos.

Una vez que se presione el botón *Create New Session* aparecerá la página de creación de trabajos (CHOQUE.jsp). En esta página se ingresan los datos para un trabajo nuevo, datos como: Nombre del trabajo, algún comentario del trabajo, y los valores de los parámetros iniciales: $A(0)$ (radio inicial de la configuración), $\Omega(0)$ (velocidad inicial de la frontera), $c(0)$ (la posición

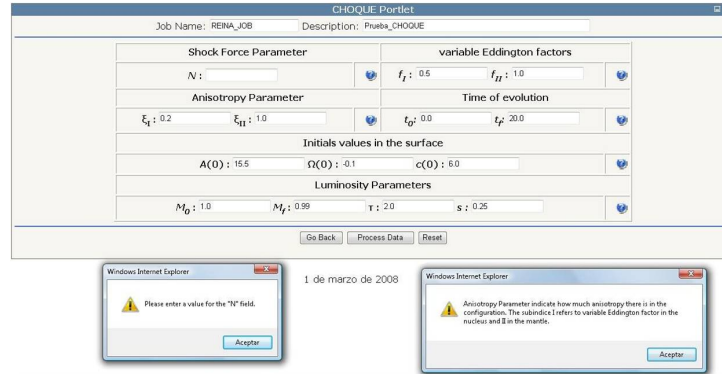


Figura 4.5: Pantalla de captura de datos.



Session	Comment	Begin	Time	Status	Files	Print
developer	please	2008-02-29	20:15:36	Done		
reina	empezar	2008-02-29	20:02:47	Ready		

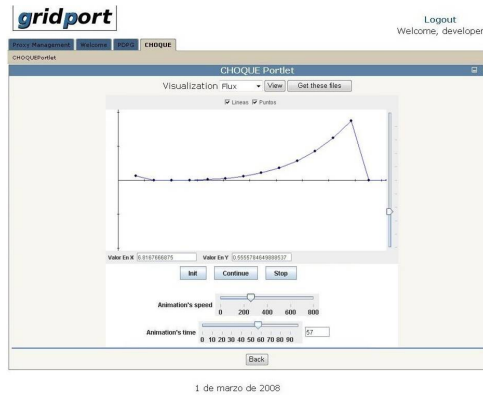
1 de marzo de 2008

Figura 4.6: Pantalla de trabajo en proceso.

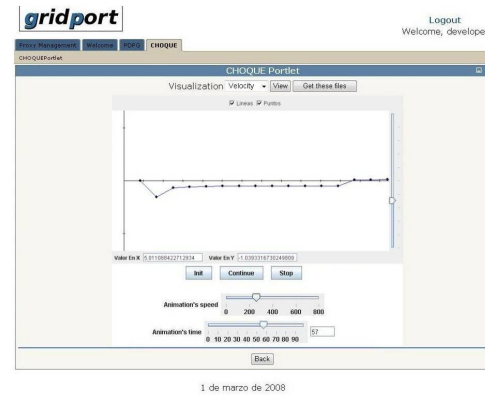
inicial de la onda de choque), N (parámetro de fuerza del choque), ξ_I (parámetro de anisotropía en el núcleo), ξ_{II} (parámetro de anisotropía en el manto), f_I (factor variable de Eddington en el núcleo), f_{II} (factor variable de Eddington en el manto), $M(0)$ (masa inicial de la configuración), M_f (masa final de la configuración), τ , s (ancho de la función Gaussiana que se emplea para calcular la luminosidad), t_0 (inicio de la evolución) y t_f (fin de la evolución).

Si se desea enviar el trabajo se debe presionar el botón *Process Data*. Luego de mandar a procesar nuestro trabajo, volvemos a la página inicial, pero con la diferencia que ahora aparece el trabajo que se acaba de enviar. La columna "status" se refiere al estado del proceso. Si el usuario desea actualizar el status debe hacer click en el link *CHOQUEPortlet*, de lo contrario el status se actualizará cada 180 segundos.

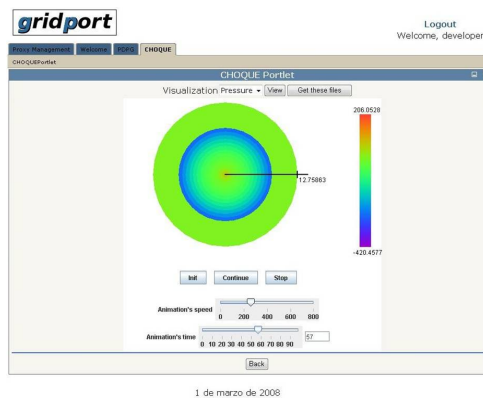
Una vez que el estado del trabajo sea DONE se puede proceder a realizar la visualización de los datos de salida originados, para ello se debe hacer click en el icono *Files*. Aparecerá la página de archivos (*viewer.jsp*), aquí se puede seleccionar si se desea realizar la visualización de



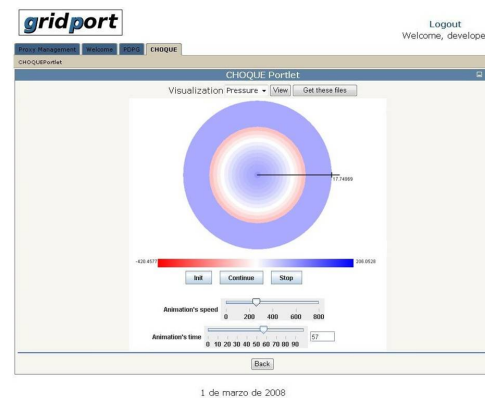
(a) Visualización mediante gráfico de líneas del flujo de radiación



(b) Visualización mediante gráfico de líneas de la velocidad radial



(a) Visualización empleando mapa de color arcoiris de la velocidad radial.



(b) Visualización empleando mapa de color isomórfico de la velocidad radial.

los archivos de salida mediante gráficos de línea (opción *graphics*) o animación por color (opción *animation*). Además, se pueden descargar los archivos de salida del portlet desde el servidor al computador oprimiendo el botón *Get these files*.

Al oprimir el botón *View* si la opción seleccionada fue *graphics* aparecerá la página de visualización de datos mediante gráficos de líneas (`graphviewer.jsp`), en ella el usuario puede elegir que variable desea visualizar. En caso de que la opción fuese *animation* (`animviewer.jsp`) aparecerá la página de visualización mediante mapeo por color.

Al presionar el botón *Get these files* aparecerá la pantalla de descarga de archivos (`pack.jsp`). Se descarga a nuestro computador un archivo (`tar`) que contiene los archivos de entrada y salida

de CHOQUE.

Finalmente si se desea borrar cualquier trabajo solo se debe presionar el icono de la papelera correspondiente al trabajo que se desea suprimir. Un mensaje de confirmación aparecerá, (delete.jsp)

Captulo 5

Colapso gravitacional

5.1 Vision General

El colapso gravitacional de una concentración localizada de materia es uno de los temas centrales de la Relatividad General y ha atraído la atención de los investigadores desde los años 40 [64]. El colapso gravitacional tiene generalmente, cuatro tipos de posibles estados finales. El primero es la formación de objetos estelares autosustentados, tales como estrellas, enanas blancas o estrellas de neutrones. El segundo es simplemente la dispersión del objeto colapsado que finalmente deja un espacio-tiempo plano. El tercer tipo es la formación de agujeros negros con materia y radiación saliente, mientras que el cuarto es la formación de singularidades desnudas.

Estos escenarios han guiado a dos activas comunidades académicas a en la construcción de códigos numéricos para simular computacionalmente el colapso gravitacional: la comunidad de astrofísica numérica y la de relativistas numéricos. La comunidad de astrofísica numérica ha abordado el problema del colapso gravitacional buscando discernir mecanismos que conduzcan a explosiones Supernovas (en particular las tipo II). Estas simulaciones incorporan descripciones detalladas de la microfísica de medio material (ecuaciones de estado de la materia y transporte de radiación), sacrificando la descripción hidrodinámica y la injerencia del campo gravitacional con una descripción newtoniana en la cual materia y radiación vienen especificadas por teorías inequivalentes [65]. La comunidad de relativistas numéricos, movida por el interés de entender la

radiación gravitacional ha construido importantes códigos con distintos esquema numéricos para resolver las ecuaciones de Einstein. Todo este muy reciente esfuerzo se centra, mayoritariamente en describir el colapso gravitacional no esférico y elude la simulación de las propiedades de la materia a tan altas densidades (para una mejor revisión [66] y las referencias allí citadas).

Es necesario entonces, estar en capacidad de resolver las Ecuaciones de Einstein para medios materiales radiantes en condiciones de simetría lo más generales posibles. Sin embargo, este problema es insoluble analíticamente para la mayoría de los casos de interés, aún para aquellos con simetría esférica. Esta dificultad sólo comienza a ser manejable cuando se hacen suposiciones adicionales las cuales, pese a limitar los resultados, permiten intuir ciertas propiedades de la materia nuclear sometida a condiciones extremas. El tratamiento del problema en términos numéricos no presenta un panorama más alentador a pesar de los recientes avances en el tratamiento del colapso radiante esférico en Relatividad General [67] [68] [69].

En 1980 L. Herrera, J. Jiménez y G. Ruggeri (HJR) [70], inspirándose en un artículo de H. Bondi [71], presentan un tratamiento seminumérico del colapso gravitacional radiante en Relatividad General. En este enfoque se transita al máximo la posibilidad de una solución analítica, restando un mínimo de esfuerzo numérico para simular la evolución de las variables físicas en una esfera radiante de fluido perfecto. Es en este sentido que el algoritmo propuesto constituye un método semi-numérico general para resolver las ecuaciones de Einstein con simetría esférica. La limitación impuesta para este caso consiste en una hipótesis heurística sobre la forma funcional de variables auxiliares las cuales, en el caso estático, coinciden con la presión y la densidad físicas. Esta suposición, guiada por sólidos criterios físicos, permite trasladar el problema de resolver las ecuaciones de Einstein (un sistema de ecuaciones diferenciales no-lineales en derivadas parciales con condiciones de borde) a integrar (numéricamente) un sistema de ecuaciones diferenciales ordinarias para funciones evaluadas en la superficie. Al resolver este sistema en la superficie de la distribución, este método garantiza el acoplamiento con la solución exterior de Vaydia. El éxito del esquema seminumérico HJR puede medirse en la variedad de exitosas aplicaciones a los más diversos terrenos de la hidrodinámica relativista. Entre dichas aplicaciones se pueden mencionar: Fluidos cargado o neutros, fluidos isótropos o anisótropos, ondas de choques, tensión superficial, fluidos radiantes en escape libre o difusión [72].

Existe un consenso general referente a los ingredientes necesarios en un escenario de colapso gravitacional, estos son los siguientes [68]:

- a. Como consecuencia de la microfísica del sistema una gran cantidad de radiación tiende a abandonar el sistema, pero la absorción y el scattering en el medio dificulta su escape libre.
- b. Transiciones de fase pueden inducir una presión anisótropa local (es decir, $P_r \neq P_\perp$) [73].
- c. La formación y propagación de una superficie de discontinuidad: una onda de choque, una detonación o un frente de combustión, cuyo ancho es pequeño en comparación con el tamaño del sistema.

La presencia y propagación de frentes de discontinuidades en las variables hidrodinámicas se observa cuando materia viajando a grandes velocidades y radiación interactúan. Un ejemplo son las explosiones de Supernovas (tipos I y II), las cuales representan dos de los escenarios más espectaculares [74] [75] [76]. Sin embargo otros fenómenos como transiciones de fase de materia nuclear ultradensa pueden también ser descritos a través de la propagación de discontinuidades [77].

Debido a la gran variedad de fenómenos en astrofísica relacionados con la formación y propagación de superficies de discontinuidades el modelo físico que sustenta al portlet CHOQUE es un modelo de Rueda y Núñez [78], el cual considera la evolución de una onda de choque radiante en esferas relativistas autogravitantes en el contexto de una aproximación post-cuasiestática, y provee todos los ingredientes mencionados anteriormente requeridos para el estudio del colapso gravitacional. Este modelo será descrito a continuación.

5.2 Ondas de choque radiante en la aproximación post-cuasiestática

A fin de determinar la influencia que ejerce el esquema de radiación y anisotropía local sobre la propagación de una superficie de discontinuidad se sigue un enfoque seminumérico comenzando con la solución interior estática con simetría esférica para la ecuación Tolman-Oppenheimer-Volkov. Este esquema las ecuaciones diferenciales parciales de Einstein en un sistema de ecuaciones diferenciales ordinarias para cantidades evaluadas en las superficies de choque y de con-

torno, este esquema se considera una extensión del método HJR. Además se introduce el *factor de flujo* $f = \mathcal{F}/\rho_R$ (relación entre el flujo de radiación y la densidad de energía de radiación), el *factor variable de Eddington* $\chi = P_R/\rho_R$ (relación entre la presión de radiación y la densidad de energía de radiación) [79] [80] y la relación de clausura Lorentz-Eddington entre ellos:

$$\chi = \chi(f) = \frac{5}{3} - \frac{2}{3}\sqrt{4 - 3f^2} \quad (5.1)$$

La cual permite simular cualquier fase de radiación entre el límite de difusión y el límite de escape libre.

5.2.1 Configuración del sistema y ecuaciones de campo

La configuración puede dividirse en tres regiones: el núcleo que es la región más interna y es denotado por I , el manto en el medio denotado por II y el espacio exterior denotado por III como se observa en la Figura 5.1

El núcleo y el manto están separados por una onda de choque (hipersuperficie de discontinuidad) y una superficie de contorno (hipersuperficie con velocidad igual a la del fluido en ese punto). Tanto la onda de choque como la superficie de contorno son hipersuperficies temporales y sólo existe radiación no polarizada saliendo de la distribución, la cual es modelada por la métrica exterior de Vaidya. Los elementos de línea en cada región son:

$$ds_{I,II}^2 = e^\nu dt^2 - e^\lambda dr^2 - r^2(d\theta^2 + \text{sen}^2\theta d\phi^2) \quad (5.2)$$

$$ds_{III}^2 = \left[1 - \frac{2M(u)}{R}\right] du^2 + 2dudR - R^2(d\theta^2 + \text{sen}^2\theta d\phi^2) \quad (5.3)$$

donde ν y λ son funciones de t y r , u es el tiempo de retardo, R es una coordenada nula ($g_{RR} = 0$) y θ y ϕ son las coordenadas angulares usuales. Para un observador comóvil con velocidad radial ω relativa a las coordenadas locales de Minkowski, el contenido físico del fluido es representado por el flujo de radiación \mathcal{F} en la dirección radial, la densidad de energía $\bar{\rho}$, la presión radial \bar{P}_r y presión tangencial \bar{P}_\perp . La barra indica la contribución total, es decir, hidrodinámica + radiación. En estas coordenadas las componentes del tensor energía-impulso para cada región

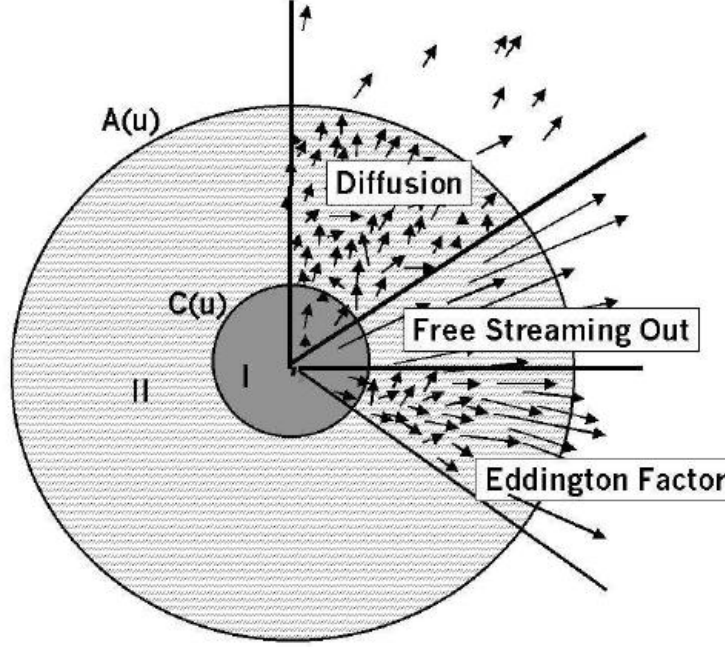


Figura 5.1: Regiones de la distribución de materia. El núcleo (I) es la región más compacta, el manto (II) situado en el medio y finalmente el espacio-tiempo exterior (III)

de un fluido con simetría esférica no estático con materia y radiación puede ser escrito como:

$$\begin{aligned} (T_{\alpha\beta})_{I,II} &= (\bar{\rho} + \bar{P}_{\perp})u_{\alpha}u_{\beta} - \bar{P}_{\perp}g_{\alpha\beta} + (\bar{P} - \bar{P}_{\perp})\chi_{\alpha}\chi_{\beta} + 2\mathcal{F}_{(\alpha\beta)} \\ (T_{\alpha\beta})_{III} &= -\frac{1}{4\pi R^2} \frac{dM}{du} \delta_{\alpha}^0 \delta_{\beta}^0 \end{aligned} \quad (5.4)$$

donde [81]

$$\begin{aligned} \bar{\rho} &= \rho + \rho_R & \bar{P} &= P_r + P_R & \bar{P}_{\perp} &= P_{\perp} + (P_{\perp})_R & (P_{\perp})_R &= \frac{\rho_R - P_R}{2} \\ u_{\alpha} &= \frac{e^{\nu/2} \delta_{\alpha}^0 - \omega e^{\lambda/2} \delta_{\alpha}^1}{\sqrt{1 - \omega^2}} & \chi_{\alpha} &= \frac{-\omega e^{\nu/2} \delta_{\alpha}^0 - e^{\lambda/2} \delta_{\alpha}^1}{\sqrt{1 - \omega^2}} & \mathcal{F}_{\alpha} &= -\mathcal{F} \chi_{\alpha} \end{aligned} \quad (5.5)$$

donde el subíndice R denota la contribución de la radiación. Para dicho tensor de energía-momento las ecuaciones de Einstein $G_{\beta}^{\alpha} = -8\pi T_{\beta}^{\alpha}$ que relacionan la geometría del espacio-tiempo (tensor de Einstein) con la distribución de materia (tensor de energía impulso) son las siguientes:

$$-8\pi \left(\frac{\bar{\rho} + \omega^2 \bar{P} + 2\omega \mathcal{F}}{1 - \omega^2} \right) = -\frac{1}{r^2} + e^{-\lambda} \left(\frac{1}{r^2} - \frac{\lambda'}{r} \right) \quad (5.6)$$

$$-8\pi \left(\frac{\bar{P} + \omega^2 \bar{\rho} + 2\omega \mathcal{F}}{1 - \omega^2} \right) = -\frac{1}{r^2} + e^{-\lambda} \left(\frac{1}{r^2} + \frac{\nu'}{r} \right) \quad (5.7)$$

$$-8\pi \bar{P}_\perp = \frac{e^{-\nu}}{4} \left[2\ddot{\lambda} + \dot{\lambda} (\dot{\lambda} - \dot{\nu}) \right] - \frac{e^{-\lambda}}{4} \left[2\nu'' + \left(\nu' + \frac{2}{r} \right) (\nu' - \lambda') \right] \quad (5.8)$$

$$-8\pi e^{\frac{\nu+\lambda}{2}} \left[\frac{\omega(\bar{\rho} + \bar{P}) + (1 + \omega^2)\mathcal{F}}{1 - \omega^2} \right] = \frac{\dot{\lambda}}{r}, \quad (5.9)$$

Donde los puntos indican derivadas con respecto al tiempo y las primas derivadas radiales.

5.2.2 Aproximación post-cuasiestática (PQA)

Herrera et al.[82] define el régimen post-cuasiestático como al correspondiente al sistema fuera del equilibrio (o cuasiequilibrio) pero cuyas variables efectivas comparten la misma dependencia radial que las variables físicas en el estado de equilibrio (o cuasiequilibrio), es decir, es la situación más cercana a la evolución cuasiestática. Matemáticamente esto es $\mathcal{O}(\omega^2) = \ddot{\lambda} = \ddot{\nu} = \dot{\lambda}\dot{\nu} = \dot{\lambda}^2 = 0$.

Las variables efectivas se definen como:

$$\tilde{\rho} = \frac{\bar{\rho} + \bar{P}\omega^2 + 2\omega\mathcal{F}}{1 - \omega^2} \quad \text{y} \quad \tilde{P} = \frac{\bar{P} + \bar{\rho}\omega^2 + 2\omega\mathcal{F}}{1 - \omega^2}, \quad (5.10)$$

A partir de estas variables efectivas, las ecuaciones de campo 5.6-5.9 pueden ser reescritas como:

$$m = \int 4\pi r^2 \tilde{\rho} dr, \quad (5.11)$$

$$\nu = \int \frac{2(4\pi r^3 \tilde{P} + m)}{r(r - 2m)} dr, \quad (5.12)$$

$$-8\pi \bar{P}_\perp = \frac{e^{-\nu}}{4} \left[2\ddot{\lambda} + \dot{\lambda} (\dot{\lambda} - \dot{\nu}) \right] - \frac{e^{-\lambda}}{4} \left[2\nu'' + \left(\nu' + \frac{2}{r} \right) (\nu' - \lambda') \right], \quad (5.13)$$

$$\dot{m} = -\frac{4\pi r^2 e^{\frac{\nu-\lambda}{2}}}{1 + \omega^2} \left[\omega(\tilde{\rho} + \tilde{P}) + (1 - \omega^2)\mathcal{F} \right], \quad (5.14)$$

donde la función masa es definida por $e^{-\lambda} = 1 - \frac{2m(t,r)}{r}$.

5.2.3 Modelo de colapso gravitacional con onda de choque en la PQA

Las regiones y ecuaciones de estado

Se emplea como ecuación de estado del núcleo la solución interior anisótropa de Schwarzschild [73],[83]:

$$\tilde{\rho}_I = f(t) \quad y \quad \tilde{P}_I = \tilde{\rho}_I \left\{ \frac{3(1 - 8/3\pi r^2 \tilde{\rho}_I)^{\xi_{I/2}} k(t) - 1}{3 - (1 - 8/3\pi r^2 \tilde{\rho}_I)^{\xi_{I/2}} k(t)} \right\}, \quad (5.15)$$

donde $\xi_I = 1 - 2h_I$ es el parámetro de anisotropía, si $h_I = 0$ corresponde al modelo isotrópico.

Para el manto se emplea la solución anisótropa Tolman VI:

$$\tilde{\rho}_{II} = \frac{3g(t)}{r^2} \quad y \quad \tilde{P}_{II} = \frac{\tilde{\rho}_{II}}{3} \left[\frac{1 - 9D(t)r^{\sqrt{4-3\xi_{II}}}}{1 - D(t)r^{\sqrt{4-3\xi_{II}}}} \right]. \quad (5.16)$$

de nuevo $\xi_{II} = 1 - 2h_{II}$ es el parámetro de anisotropía en el manto y las funciones $f(t)$, $k(t)$, $g(t)$ y $D(t)$ son obtenidas por medio de las condiciones de contorno.

Funciones métricas y variables efectivas

A partir de la introducción de las variables adimensionales en la superficie M , A , F y Ω y de las variables físicas \hat{E} y L es posible obtener todas las variables físicas como función de las variables adimensionales en la superficie.

$$M = \frac{m_a}{m_a(0)}, \quad A = \frac{a}{m_a(0)}, \quad F = 1 - \frac{2M}{A}, \quad \Omega = \omega_a, \quad y \quad t \rightarrow \frac{t}{m_a(0)}, \quad (5.17)$$

$$\hat{E} = 4\pi a^2 \mathcal{F}_a, \quad L = -\dot{M}, \quad y \quad E = \frac{\dot{M}}{F}, \quad (5.18)$$

Donde $m_a(0)$ es la masa total inicial de la distribución, \hat{E} es la luminosidad para un observador no comóvil y L es la luminosidad al infinito. Entonces para el manto se obtiene:

$$m_{II} = \frac{Mr}{A}, \quad E = (1 + \Omega)\hat{E}, \quad (5.19)$$

$$\tilde{\rho}_{II} = \frac{1 - F}{8\pi r^2}, \quad \tilde{P}_{II} = \frac{1 - F}{24\pi r^2} \left[\frac{\psi - 9\chi(r/a)^{\sqrt{4-3\xi_{II}}}}{\psi - \chi(r/a)^{\sqrt{4-3\xi_{II}}}} \right] \quad (5.20)$$

$$e^{-\lambda_{II}} = F, \quad e^{-\nu_{II}} = F \left\{ \frac{r}{a} \left[\frac{\psi - \chi(r/a)^{\sqrt{4-3\xi_{II}}}}{\psi - \chi} \right]^{2/\sqrt{4-3\xi_{II}}} \right\}^{\frac{4(1-F)}{3F}} \quad (5.21)$$

Donde $\psi = 3(3 + \Omega)(1 - F)6(1 + \Omega)E$ y $\chi = (1 + 3\Omega)(1 - F) - 6(1 + \Omega)E$

Mientras que para el núcleo mediante la introducción del parámetro de fuerza de choque $N(\tilde{P}_I)_c = N(\tilde{P}_{II})_c$ se obtiene:

$$m_I = \frac{Mc}{A}(r/c)^3, \quad \tilde{\rho}_I = \frac{3M}{4\pi c^2 A}, \quad \tilde{P}_I = \tilde{\rho}_I \frac{3u^{\xi_I/2}k(t) - 1}{3 - u^{\xi_I/2}k(t)} \quad (5.22)$$

$$e^{-\lambda_I} = 1 - \frac{2Mc}{Ar}(r/c)^3, \quad e^{-\nu_I} = Hu^\Phi(3 - ku^{\xi_I/2}k(t))^{\frac{8}{\xi_I}} \quad (5.23)$$

Donde

$$k = \frac{24\pi c^2 \tilde{\rho}_I \beta + 3N\alpha(1 - F)}{F^{\xi_I/2}[72\pi c^2 \tilde{\rho}_I \beta + N\alpha(1 - F)]}, \quad H = \frac{F^{1-\Phi} \frac{c}{a} \left[\frac{\beta}{8(F-1)} \right]^{2/\sqrt{4-3\xi_{II}}} \frac{4(1-F)}{3F}}{(3 - kF^{\xi_I/2})^{8/\xi_I}} \quad (5.24)$$

$$u = 1 - \frac{8\pi r^2 \tilde{\rho}_I}{3}, \quad \Phi = \frac{1}{2} - \frac{3(1 - F)}{16\pi c^2 \tilde{\rho}_I}, \quad \alpha = \psi - 9\chi(c/A)^{\sqrt{4-3\xi_{II}}}, \quad \beta = \psi - \chi(c/A)^{\sqrt{4-3\xi_{II}}} \quad (5.25)$$

Todas las variables efectivas y las funciones métricas dependen de t a través de las variables de superficie A , F , Ω y L .

Ecuaciones de superficie

A fin de encontrar la evolución de las variables en la superficie, es necesario integrar un sistema de ecuaciones diferenciales ordinarias sobre A , F , Ω y L , llamadas ecuaciones de superficie. La primera ecuación se obtiene a partir de la relación entre la velocidad y la velocidad del observador comóvil $\dot{r} = e^{\frac{\nu-\lambda}{2}}\omega$, evaluada sobre la superficie de contorno $\sum r - a(t)$. La segunda ecuación surge de la derivada temporal de F y usando la definición de la luminosidad L .

$$\dot{A} = F\Omega, \quad \dot{F} = \frac{(1 - F)F\Omega + 2L}{A} \quad (5.26)$$

La ecuación diferencial para Ω se obtiene evaluando la ley de conservación $T_{r;\alpha}^\alpha = 0$ sobre \sum :

$$\tilde{P}' + \frac{(\tilde{\rho} + \tilde{P})(4\pi r^3 \tilde{P} + m)}{r(r - 2m)} = \frac{2(\bar{P}_\perp - \tilde{P})}{r} + \frac{e^{-\nu}}{4\pi r(r - 2m)} \left(\ddot{m} + \frac{3\dot{m}^2}{r - 2m} - \frac{\dot{m}\dot{\nu}}{2} \right) \quad (5.27)$$

Finalmente se introduce un pulso Gaussiano centrada a $t = t_0$ para describir la luminosidad:

$$-\dot{M} = L = \frac{\Delta M_{rad}}{s\sqrt{2\pi}} e^{\left[-\frac{1}{2} \left(\frac{t-t_0}{s} \right)^2 \right]} \quad (5.28)$$

Donde s es el ancho del pulso y ΔM_{rad} es la masa total perdida en el proceso.

El conjunto de subrutinas desarrolladas en fortran permiten calcular a partir de las variables de radiación, las ecuaciones de campo 5.6-5.9, de la ecuación de estado anisótropa y de algunos parámetros de entrada, las variables físicas ρ , P_r , P_\perp , ω y \mathcal{F} , tanto las contribuciones hidrodinámicas como las contribuciones de la radiación para cada radio de la esfera y para un lapso de tiempo establecido. Dichos parámetros de entrada son los siguientes: $A(0)$ (radio inicial de la configuración), $\Omega(0)$ (velocidad inicial de la frontera), $c(0)$ (la posición inicial de la onda de choque), N (parámetro de fuerza del choque, es decir, relación entre la presión efectiva a ambos lados de la onda de choque), ξ_I (parámetro de anisotropía en el núcleo), ξ_{II} (parámetro de anisotropía en el manto), f_I (factor variable de Eddington en el núcleo), f_{II} (factor variable de Eddington en el manto), $M(0)$ (masa inicial de la configuración), M_f (masa final de la configuración), τ , s (ancho de la función Gaussiana que se emplea para calcular la luminosidad), t_0 (inicio de la evolución) y t_f (fin de la evolución)

5.3 Resumen

La comprensión del proceso de colapso gravitacional dentro del marco de la Teoría General de Relatividad es indispensable para desentrañar las últimas etapas de la evolución estelar. Un caso muy interesante es la propagación de discontinuidades hidrodinámicas en esferas radiantes. Existen un conjunto de subrutinas escritas en lenguaje fortran que permiten modelar la evolución de una onda de choque en una esfera relativista autogravitante en el contexto de una aproximación post-cuasiestática [78]. A partir de las condiciones iniciales es posible integrar numéricamente el sistema de ecuaciones diferenciales en la superficie de la distribución y luego evaluar las expresiones para las funciones métricas para determinar y validar el valor de las variables físicas (las contribuciones hidrodinámicas y de la radiación a la presión radial, presión tangencial, flujo de radiación, densidad y la velocidad radial del material). Estas subrutinas conforman el modelo físico que sustenta al portlet CHOQUE.

Captulo 6

Conclusiones

Los Grids se han convertido en un tema de alto interés en los últimos años, gracias a todas las ventajas a nivel computacional y de recursos que proporcionan. Sin embargo, es necesario que los usuarios puedan utilizar los Grids y las aplicaciones que funcionan en estos de una forma sencilla y transparente. Esto se puede lograr mediante los portales y portlets, que presentan un interfaz sencilla y atractiva a los recursos hardware y software que componen el Grid.

En nuestro caso se desarrollo un portlet llamado CHOQUE basado en la especificación JSR 168, el cual cumple con las siguientes tareas:

- Construcción del archivo de entrada para las subrutinas en fortran.
- Construcción del archivo jdl necesario para especificar las características y necesidades del trabajo.
- Uso del middleware gLite para: la transferencia de archivos de entrada y de salida, el envío y la monitorización del trabajo.
- Visualización de los archivos de salida, bien sea a través de animaciones de gráficos de líneas o mediante animaciones de mapeos por color, logrando un efecto de movimiento de la esfera radiante a través de los cambios cromáticos en el tiempo.

El portlet CHOQUE puede convertirse en una herramienta para la comunidad de astrofísica relativista (tanto docentes, como investigadores) para simular la influencia que ejerce un esquema de radiación y anisotropía local sobre la propagación de una superficie de discontinuidad en una esfera autogravitante.

Bibliografía

- [1] B. SOTOMAYOR. Globus toolkit 4 programmer's tutorial, 2005. URL <http://gdp.globus.org/gt4-tutorial/multiplehtml/index.html>. [citado en p. ii, 28]
- [2] SUN Microsystems. Introduction to jsr 168the java portlet specification. URL http://developers.sun.com/portalserver/reference/techart/jsr168/pb_whitepaper.pdf. [citado en p. ii, 45]
- [3] Edward R. Tufte. *The Visual Display of Cuantitative Information*. Connecticut: Graphics Press, 1983. [citado en p. 3]
- [4] W. S. Cleveland. *The Elements of Graphing Data*. Wadsworth, Inc., 1991. [citado en p. 3]
- [5] R. B. Haber and D.A. McNabb. Visualization idioms: A conceptual model for scientific visualization systems. *Proceedings of IEEE Visualization '90, IEEE Computer Society Press*, 1990. [citado en p. 3, 4]
- [6] De Fanti T. et al. McCormick B. Special issue on visualization in scientific computing. *Computer Graphics, Publication of ACM/SIGGRAPH*, 21(6), November 1987. [citado en p. 3]
- [7] P. Robertson and L. De Ferrari. Systematic approaches to visualization: Is a reference model needed? in scientific visualization advances and challenges. *Ed: L. Rosenblum, R.A. Earnshaw, J. Encarnacao, H. Hagen, A. Kaufman, S. Klimenko, G. Nielson, F. Post, D. Thalmann , Academic Press.*, 1994. [citado en p. 4]

- [8] Ning P. and Hesselink L. Fast volume rendering of compressed data. In *Proc. IEEE Visualization '93 CS Press, Los Alamitos*, 1993. [citado en p. 4]
- [9] Chengzhi Qin, Chenghu Zhou, and Tao Pei. Taxonomy of visualization techniques and systems - concerns between users and developers are different. In *Asia GIS Conference 2003*, 2003. [citado en p. 4]
- [10] D. A. Keim and H.P. Kriegel. Visualization techniques for mining large databases: A comparison. *IEEE Transactions on Knowledge and Data Engineering*, 8(6):923–936, 1996. [citado en p. 4]
- [11] B Shneiderman. The eyes have it: A task by data type taxonomy for information visualization. *IEEE Symposium on Visual Language*, pages 336–343, 1996. [citado en p. 4]
- [12] Edward R. Tufte. *Envisioning Information*. Graphics Press, 1990. [citado en p. 5]
- [13] Edward R. Tufte. *Visual Explanations: Images and Quantities, Evidence and Narrative*. Graphics Press, 1st edition, 1997. [citado en p. 5]
- [14] G. Abram and L. Treinish. An extended data-flow architecture for data analysis and visualization. *Proceedings of the IEEE Visualization 1995 Conference*, pages 263–270, Octubre 1995. [citado en p. 7]
- [15] H. Lefkowitz and G. T. Herman. Color scales for image data. *IEEE Computer Graphics and Applications*, 12(1):72–80, Enero 1992. [citado en p. 7]
- [16] B. E. Rogowitz. Human vision and display design. *Proceedings of Japan Display '92*, pages 335–339, 1992. [citado en p. 7]
- [17] P. K Robertson. Visualizing color gamuts: A user interface for the effective use of perceptual color spaces in data displays. *IEEE Computer Graphics and Applications*, 8:50–63, Septiembre 1988. [citado en p. 7]
- [18] Richard S. Gallagher. *Computer Visualization: Graphics Techniques for Scientific and Engineering Analysis*. CRC Press, Inc, 1995. [citado en p. 9, 13]

- [19] W. Lorensen and H. E. Cline. Marching cubes: A high resolution 3-d surface construction algorithm. *Proceedings of SIGGRAPH '87, in Computer Graphics*, 21(4), Julio 1987. [citado en p. 9]
- [20] Robert B. et al. Wilhelmson. A study of the evolution of a numerically modeled severe storm. *International Journal of High Performance Computing Applications*, 4(2):20–36, 1990. [citado en p. 9]
- [21] T. Delmarcelle and L. Hesselink. Visualization of second-order tensor fields and matrix data. *IEEE Computer Graphics and Applications, CS Press, Los Alamitos C.A*, pages 316–323, 1992. [citado en p. 10]
- [22] W. Merzkirch. *Flow Visualization*. Academic Press, London, 2nd edition, 1987. [citado en p. 10]
- [23] J. J. Van Wijk. Spot noise. texture synthesis for data visualization. *Computer Graphics*, 25(4):309–318, 1991. [citado en p. 11]
- [24] L. y Hanrahan P. Drebin R. A., Carpenter. Volume rendering. *Computer Graphics*, 22(4):65–74, Agosto 1988. [citado en p. 13]
- [25] C.R. Johnson. Top scientific visualization research problems. *IEEE Computer Graphics and Visualization: Visualization Viewpoints*, pages 2–6, Julio 2004. [citado en p. 15]
- [26] Janka H.-T. Kifonidis K., Plewa T. and Muller E. Nucleosynthesis and clump formation in a core collapse supernova. *Astrophys. J. Lett.*, 531:L123–L126, 2000. <http://xxx.arxiv.org/abs/astro-ph/9911183>. [citado en p. -]
- [27] Font J.A. Dimmelmeier H. and Müller E. Relativistic simulations of rotational core collapse ii. collapse dynamics and gravitational radiation. *Astron. Astrophys.*, 393:523–542, 2002. [citado en p. -]
- [28] Chetty M and Buyya R. Weaving computational grids: How analogous are they with electrical grids? *Journal of Computing in Science and Engineering (CiSE)*, Julio-Agosto 2001. [citado en p. 17]

- [29] Kesselman C Foster I. *The Grid: Blueprint for a Future Computing Infrastructure*. 1999. [citado en p. 17]
- [30] Buyya R. Baker M. and Laforenza D. Grids and grid technologies for wide-area distributed computing. *Softw. Pract. Exper.*, 2002. [citado en p. 17, 23]
- [31] MELTON J. MALAIKA S., EISENBERG A. Standards for databases on the grid. *Sigmod Record*, 32(3):92–100, 2003. [citado en p. 17]
- [32] Kesselman C. y Tuecke S. Foster I. The anatomy of the grid. enabling scalable virtual organizations. *International Journal of Supercomputer Applications*, 2001. [citado en p. 17, 25, 94]
- [33] CERN. Gridcafe. URL <http://gridcafe.web.cern.ch/gridcafe/>. [citado en p. 19]
- [34] Foster I. What is the grid? a three point checklist. 2002. [citado en p. 20]
- [35] V. Berstis. Ibm fundamentals of grid computing. Website. <http://www.redbooks.ibm.com/redpapers/pdfs/redp3613.pdf>. [citado en p. 20]
- [36] B. et.al. Jacob. Ibm introduction to grid computing. Website. <http://www.redbooks.ibm.com/redpapers/pdfs/redp6778.pdf>. [citado en p. 20]
- [37] World Wide Web Consortium. Website. URL <http://www.w3.org/>. [citado en p. 26]
- [38] The web service description language. Wsdl . Website. <http://www.w3.org/TR/wsdl>. [citado en p. 26]
- [39] B. SOTOMAYOR. The globus toolkit 3 programmers tutorial. Website, Diciembre 2003. URL <http://gdp.globus.org/gt3-tutorial>. [citado en p. 26]
- [40] Global Grid Forum. Website. URL <http://www.ggf.org/>. [citado en p. 27]
- [41] I. Foster, C. Kesselman, J. Nick, and S. Tuecke. The physiology of the grid: An open grid services architecture for distributed systems integration. In F. Berman, G. Fox, and T. Hey,

- editors, *Grid Computing: Making the Global Infrastructure a Reality*. Wiley Interscience, 2003. [citado en p. 27]
- [42] G. G. FORUM. Open grid services architectur (ogsa). Website. URL <http://forge.gridforum.org/projects/ggf-editor/ogsa>. [citado en p. 27]
- [43] G. G. FORUM. Open grid services infrastructure (ogsi). Website. URL <http://forge.gridforum.org/projects/ggf-editor/document/draftogsi-service-1/en/1>. [citado en p. 28]
- [44] CZAJKOWSKI K. et al. From open grid services infrastructure to wsresource framework: Refactoring & evolution. *IBM*, 2004. [citado en p. 28]
- [45] T. BANKS. Web services resource framework (wsrf) - primer v1.2. URL <http://docs.oasis-open.org/wsrf/wsrf-primer-1.2-primer-cd-02.pdf>. [citado en p. 28]
- [46] D. Thain, T. Tannenbaum, and M. Livny. Distributed computing in practice: The condor experience. concurrency and computation: Practice and experience, 2004. [citado en p. 29]
- [47] Giddy J. Abramson D., Sosic R. and Hall B. Nimrod: A tool for performing parametrised simulations using distributed workstations. In *4th IEEE International Symposium on High Performance Distributed Computing*, page 112121, Agosto 1995. [citado en p. -]
- [48] V. Hamar. Grid engine. In *Primer Taller de Adiestramiento de Grid en Venezuela*, 2005. [citado en p. 30]
- [49] Dietmar W. Erwin and David F. Snelling. Unicore: A grid computing environment. In *In 7th International Euro-Par Conference*, volume 2150 of Lecture Notes in Computer Science, page 825834, 2001. [citado en p. -]
- [50] Ian Foster and Carl Kesselman. Globus: A metacomputing infrastructure toolkit. *International Journal of Supercomputer Applications*, 11(2):115–128, 1997. [citado en p. 31]
- [51] Alianza Globus. Globus toolkit. Website. <http://www.globus.org/>. [citado en p. 33]

- [52] V. Hamar. glite overview. In *Segundo Taller Latinoamericano de Computación Grid*, 2006.
[citado en p. 33]
- [53] Enabling Grids in E-science (EGEE). glite, a lightweight middleware for grid computing.
URL <http://www.eu-egee.org/glite>. [citado en p. 34]
- [54] Freddy Rojas. Gridport 4. In *Latin American Workshop for Grid Administrators*, 2005.
URL <http://gridport.net/main/presentations.html>. [citado en p. 37, 43]
- [55] Anurag Shankar. A general (gentle?) introduction to (grid) portals/gateways, Noviembre 2006. URL <http://dhruv.uits.indiana.edu/portals/portals-101.pdf>. [citado en p. 37]
- [56] Catherine Mills et al. Grid portals tutorial: Part 1, part 2, part 3, portal and grid tools overview. In *NPACI All Hands Meeting*, 2003. URL <http://gridport.net/main/presentations.html>. [citado en p. 37]
- [57] Java Community Process. URL <http://www.jcp.org/en/jsr/detail?id=168>.
[citado en p. 41]
- [58] Alejandro et al. Abdelnur. "portlet specification" proposed final draft 2, version 1.0. Website, Agosto 2003. URL www.oasis-open.org. [citado en p. 41]
- [59] Thomas Schaeck. Web services for remote portals (wsrp) note 21, 2002. URL http://www-900.ibm.com/developerWorks/cn/webservices/ws-wsrp/index_eng.shtml.
[citado en p. 41]
- [60] Alan et al. Kropp. Web services for remote portlets specification 1.0, 2003. URL <http://www.oasis-open.org/committees/wsrp>. [citado en p. 42]
- [61] Oliver Wehrens Jason Novotny, Michael Russell. The core portal architecture: Jsr-168 based portals. URL <http://www.extreme.indiana.edu/~gannon/b649/Chapter11.pdf>.
[citado en p. 43]

- [62] Jason Novotny. The grid portal development kit. *Grid Computing environments: Special Issue of Concurrency and Computation: Practice and Experience*, 14(13-15):11291144, 2002. [citado en p. 50]
- [63] Gregor von Laszewski et al. A java commodity grid kit. *Concurrency and Computation: Practice and Experience*, 13:643–662, 2001. [citado en p. 51]
- [64] J. R. Oppenheimer and H. Snyder. On continued gravitational contraction. *Phys. Rev.*, 56(5):455–459, Sept 1939. [citado en p. 68]
- [65] E. Müller. *Computational Methods for Astrophysical Fluid Flow*, chapter Simulation of astrophysical fluid flow, pages 343–494. Springer-Verlag, Berlin, 1988. [citado en p. 68]
- [66] José A. Font. Numerical hydrodynamics in general relativity. *Living Reviews in Relativity*, 6(4), 2003. [citado en p. 69]
- [67] M. Liebendörfer, A. Mezzacappa, F.-K. Thielemann, O. E. Messer, W. R. Hix, and S. W. Bruenn. Probing the gravitational well: No supernova explosion in spherical symmetry with general relativistic Boltzmann neutrino transport. *Phys. Rev. D*, 63(10):103004–+, May 2001. [citado en p. 69]
- [68] De Nisco K.R. Bruenn S.W. and Mezzacappa. General relativistic effects in the core collapse supernova mechanism. *Astrophys. J.*, 560:326–338., Octubre 2001. [citado en p. 69, 70]
- [69] E. Livne L. Dessart, A. Burrows and C.D. Ott. Multi-dimensional radiation/hydrodynamic simulations of protoneutron star convection. *The Astrophysical Journal*, 645:534550, Julio 2006. [citado en p. 69]
- [70] L. Herrera, J. Jiménez, and G. J. Ruggeri. Evolution of radiating fluid spheres in general relativity. *Phys. Rev. D*, 22(10):2305–2316, Nov 1980. [citado en p. 69]
- [71] H. Bondi. The Contraction of Gravitating Spheres. *Proceedings of the Royal Society of London. Series A, Mathematical and Physical Sciences*, 281(1384):39–48, 1964. [citado en p. 69]

- [72] Herrera L. and Núñez L. A. Evolution of radiating spheres in general relativity: A semi-numerical approach. *Fundam. of Cosmic Physics*, 14:235–319, 1990. [citado en p. 69]
- [73] Bowers R.L. y Liang E.P.T. Anisotropic spheres in general relativity. *Astrophysical J.*, 188:657–665, 1974. [citado en p. 70, 74]
- [74] L.A. Herrera, L. y Núñez. Propagation of a shock wave in a radiating spherically symmetric distribution of matter. *Astrophys. J.*, 319:868–884, 1987. [citado en p. 70]
- [75] L.A. Herrera, L. y Núñez. Luminosity profiles and the evolution of a shock wave in general relativistic radiating spheres. *Astrophys. J.*, 364:212–221, 1990. [citado en p. 70]
- [76] Herrera L. y Núñez L.A. Barreto W. The evolution of discontinuities in radiating spheres in the diffusion approximation. *astrophys. j.*, 375, 663-673 (1991). *Astrophys. J.*, 375:663–673, 1991. [citado en p. 70]
- [77] L.A. Herrera, L. y Núñez. Hydrodynamics phase transitions in a radiating spherically symmetric distribution of matter. *Astrophys. J.*, 339:339–353, 1989. [citado en p. 70]
- [78] Jorge A. Rueda and L. A. Nunez. General relativistic radiant shock waves in the post-quasistatic approximation. In *XXIXth Spanish Relativity Meeting (ERE 2006)*. *Journal of Physics*, Conference Series 66, 2007. [citado en p. 70, 76]
- [79] J. A. Pons, J. Ma. Ibanez, and J. A. Miralles. Hyperbolic character of the angular momentum equations of radiative transfer and numerical methods. *Monthly Notices of the Royal Astronomical Society*, 317:550–562, 2000. [citado en p. 71]
- [80] J. M. Smit, L. J. van den Horn, and S. A. Bludman. Closure in flux-limited neutrino diffusion and two-moment transport. *Astronomy and Astrophysics*, 356:559–569, April 2000. [citado en p. 71]
- [81] B.W. Mihalas and D. Mihalas. *Foundations of Radiation Hydrodynamics*. Courier Dover Publications, 1984. [citado en p. 72]

- [82] L. Herrera, W. Barreto, A. Di Prisco, and N. O. Santos. Relativistic gravitational collapse in noncomoving coordinates: The post-quasistatic approximation. *Phys. Rev. D*, 65(10):104004, Apr 2002. [citado en p. 73]
- [83] M. Esculpi M. Cosenza, L. Herrera and L. Witten. Some models of anisotropic spheres in general relativity. *J. Math. Phys*, 22:118–125, 1980. [citado en p. 74]

Webliografia

- Apache Maven: <http://maven.apache.org/>
- Apache Tomcat: <http://tomcat.apache.org/>
- Condor: <http://www.cs.wisc.edu/condor/>
- EGEE: <http://public.eu-egee.org/>
- GGF: <http://www.ggf.org>
- GPIR: <http://www.tacc.utexas.edu/projects/gpir.php>
- GLite: <http://glite.web.cern.ch/glite/>
- Globus Toolkit 2 (GT2): <http://www.globus.org/toolkit/downloads/2.4.3/>
- Globus Toolkit 3 (GT3): <http://www.globus.org/toolkit/downloads/3.0.2/>
- Globus Toolkit 4 (GT4): <http://www.globus.org/toolkit/downloads/4.0.2/>
- GridFTP: http://www.globus.org/grid_software/data/gridftp.php
- GridPort: <http://www.gridport.net>
- Gridsphere: <http://www.gridsphere.org/>
- GPDK: <http://doesciencegrid.org/projects/GPDK/>
- IBM Websphere: <http://www.ibm.com/websphere>
- J2EE: <http://java.sun.com/javaee/>
- JDL: <http://www.ogf.org/documents/GFD.56.pdf>
- JSRs: <http://jcp.org/en/jsr/all>
- JSR 168: <http://jcp.org/en/jsr/detail?id=168>
- JSR 286: <http://jcp.org/en/jsr/detail?id=286>
- LSF: <http://www.platform.com/Products/platform-lsf-family>

- MPICH-G2: <http://www3.niu.edu/mpi/>
- MyProxy: <http://grid.ncsa.uiuc.edu/myproxy/>
- .NET: <http://www.microsoft.com/net/default.aspx>
- Nimrod-G <http://www.csse.monash.edu.au/~davida/nimrod/nimrodg.htm>
- OASIS: <http://www.oasis-open.org/>
- OGCE: http://www.collab-ogce.org/ogce/index.php/Main_Page
- OGSA: <http://www.gridforum.org/documents/GWD-I-E/GFD-I.030.pdf>
- OGSA-DAI: <http://www.ogsadai.org.uk/>
- OGSI: <http://www-128.ibm.com/developerworks/grid/library/gr-ogsi/>
<http://xml.coverpages.org/OGSI-SpecificationV110.pdf>
- Portable Batch System (PBS): <http://www.pbsgridworks.com/Default.aspx>
- Proyecto Sakai: <http://www.proyectosakai.org/>
- SOA: http://en.wikipedia.org/wiki/Service-Oriented_Architecture
- SOAP: <http://en.wikipedia.org/wiki/SOAP>
- Storage Resource Broker (SRB): http://www.sdsc.edu/srb/index.php/Main_Page
- Sun Grid Engine (SGE): <http://gridengine.sunsource.net/>
- UDDI: <http://www.uddi.org/>
- Unicore: <http://www.unicore.eu/>
- WS: http://en.wikipedia.org/wiki/Web_services
- WS-Addressing: <http://www-128.ibm.com/developerworks/library/specification/ws-add/>
- WS-I: <http://www.ws-i.org/>
- WS-Notification: <http://www-128.ibm.com/developerworks/library/specification/ws-notification/>
- WS-Reliability: http://www.oasis-open.org/committees/tc_home.php?wg_abbrev=wsrc
- WS-Security: http://www.oasis-open.org/committees/tc_home.php?wg_abbrev=wss
- WSDL: <http://www.w3.org/TR/wsdl>
- WSRF: http://www.oasis-open.org/committees/tc_home.php?wg_abbrev=wsrf
- WSRP: <http://en.wikipedia.org/wiki/WSRP>
- WSRP 1.0: http://www.oasis-open.org/committees/tc_home.php?wg_abbrev=wsrp
- WSRP 2.0: <http://www.oasis-open.org/committees/download.php/18617/>

Appendices

Lista de Figuras

1.1	Códigos de colores empleados usualmente en el mapeo por color	5
1.2	Datos de MRI visualizados empleando mapa de color de arcoiris, isomórfico, segmentado y de realce. Tomada de la página de NASA/GSFS	7
1.3	Imágenes generadas empleando gráficos de contorno	8
1.4	Imágenes generadas empleando isosuperficies	9
1.5	Probabilidad de distribución del par quark-antiquark dentro de un mesón en el tiempo empleando planos cortantes (R. Babich et al., Lattice QCD 2006, Universidad de Boston).	9
1.6	Imágenes de campos vectoriales generadas empleando iconos puntuales	11
1.7	Curvas de velocidad del flujo de aire en una oficina, los muebles dentro de la oficina son isosuperficies. Las streamlines fueron coloreadas de acuerdo a la presión del aire.	12
1.8	Stream ribbons que indican la dirección del agua en tres instantes de tiempo (Flow Simulations and Analysis Group at George Washington University (GWU)).	12
1.9	Hyperstreamlines y superficies de velocidades.	13
2.1	Los Grids Computacionales ofrecen a las organizaciones grandes beneficios como el aumentar su capacidad de cómputo y almacenamiento al compartir los recursos existentes y de esta manera ahorrar dinero evitando la adquisición de nuevos equipos, compartir datos almacenados y aumentar la velocidad de cálculo.	18
2.2	Arquitectura en capas del Grid [32].	25
2.3	Estructura de la plataforma de servicios Grid en Globus Toolkit 3.0 a la izq. y en Globus Toolkit 4.0 a la der.	28
3.1	Un portal es un ambiente web seguro a través del cual una OV puede compartir contenido, acceder a los servicios grid y a aplicaciones.	37
3.2	SOA para portales Grid.	40
3.3	En esta arquitectura el portlet genera fragmentos que el contenedor de portlets envía al portal framework. El portal framework agrega un marco, un título y botones de control para crear la ventana del portal, la cual se convierte en parte de la página del portal	42
3.4	WSRP permite que los portlets locales pertenecientes al portal framework están disponibles para otros portales.	43
3.5	Flujo de datos dentro de un portlet.	44
3.6	El diagrama indica los servicios de portal y los servicios a los que puede acceder en general a través de un portal (en este caso se hace referencia al portal NPACI, basado en GridPort).	49

4.1	Arquitectura del portlet CHOQUE	54
4.2	Estructura de directorios y archivos del portlet CHOQUE	55
4.3	Interacciones entre los métodos del portlet CHOQUE tras una petición del usuario.	59
4.4	Secuencia de ejecución de un trabajo empleando gLite.	63
4.5	Pantalla de captura de datos.	65
4.6	Pantalla de trabajo en proceso.	65
5.1	Regiones de la distribución de materia. El núcleo (<i>I</i>) es la región más compacta, el manto (<i>II</i>) situado en el medio y finalmente el espacio-tiempo exterior (<i>III</i>)	72

Lista de Tablas

4.1 Hardware de CeCalCULA utilizado en los proyectos de Grid.	52
---	----